



รายงานผลการวิจัย

เรื่อง การประดิษฐ์อุปกรณ์มีโซฟลูอิดิกส์แบบใช้แล้วทิ้ง สำหรับการวิเคราะห์สารต้านจุลชีพบางชนิดโดยการตรวจการเปล่งแสงเคมิลูมิเนสเซนต์ชนิดเหนี่ยวนำด้วยไฟฟ้า

Fabrication of Disposable Mesofluidic Devices for the Determination of Selected Antibiotics via Electrogenerated Chemiluminescence Detection

ได้รับการจัดสรรงบประมาณวิจัย

ประจำปี 2558

จำนวน 236,300 บาท

หัวหน้าโครงการ

ศักดิ์ชัย เสถียรพิริคุล

ผู้ร่วมโครงการ

ฐานินทร์ แตงกوارัมย์

นาโนนัย อนอมวัฒน์

งานวิจัยเสรี จสินสมบูรณ์

30/ก.ย./2559

กิตติกรรมประกาศ

โครงการวิจัยเรื่อง การประดิษฐ์อุปกรณ์มีโซฟลuidicแบบใช้แล้วทิ้ง สำหรับการวิเคราะห์สารต้านจุลชีพบางชนิด โดยการตรวจการเปล่งแสงเคมิลูมิเนสเซนต์ชนิดหนึ่งยานำด้วยไฟฟ้า (Fabrication of Disposable Mesofluidic Devices for the Determination of Selected Antibiotics via Electrogenerated Chemiluminescence Detection) ได้สำเร็จลุล่วง โดยได้รับทุนอุดหนุนการวิจัย จากสำนักวิจัยและส่งเสริมวิชาการการเกษตร มหาวิทยาลัยแม่โจ้ ประจำปีงบประมาณ 2558

คณะผู้วิจัยขอขอบคุณ สาขาวิชาเคมี คณะวิทยาศาสตร์ มหาวิทยาลัยแม่โจ้ ที่การสนับสนุน อนุเคราะห์การใช้เครื่องมือวิทยาศาสตร์ อุปกรณ์และสถานที่ ตลอดระยะเวลาการทำงานวิจัยนี้

คณะผู้วิจัยขอขอบพระคุณ บุคลากร สาขาวิชาเคมี คณะวิทยาศาสตร์ มหาวิทยาลัยแม่โจ้ ที่ อำนวยความสะดวกทางด้านอุปกรณ์และสารเคมี รวมทั้งช่วยประสานงานในด้านเอกสารงาน ราชการ ในการติดต่อหน่วยงานที่เกี่ยวข้องกับการทำงานวิจัยนี้

คณะผู้วิจัย

สารบัญ

หน้า

กิตติกรรมประกาศ	๑
สารบัญ	๒
สารบัญตาราง	๓
สารบัญภาพ	๔
บทคัดย่อ	๕
Abstract	๖
คำนำ	๗
วัตถุประสงค์	๘
ประโยชน์ที่คาดว่าจะได้รับ	๙
การตรวจเอกสาร	๑๐
อุปกรณ์และวิธีการวิจัย	๑๕
ผลการวิจัยและวิจารณ์ผลการวิจัย	๒๑
สรุปผลการวิจัย	๓๕
เอกสารอ้างอิง	๓๖

สารบัญตาราง

	หน้า
ตารางที่ 1 สารเคมีที่ใช้ในงานวิจัย	15
ตารางที่ 2 เครื่องมือและอุปกรณ์ที่ใช้ในการวิจัย	16
ตารางที่ 3 การเปรียบเทียบผลการศึกษาสภาวะที่เหมาะสมของระบบตรวจวัดแบบ univariate และ simplex	30
ตารางที่ 4 ผลการศึกษาคุณลักษณะของการวิเคราะห์	32
ตารางที่ 5 ผลการเปรียบเทียบการตรวจสารฟูราลทาโคนในอาหารสัตว์ ด้วยเทคนิค อิเลคโทรเคมิลูминิสเซนต์ และ โคมาราโถกราฟของเหลวสมรรถนะสูง	34
ตารางที่ 6 ผลการศึกษาร้อยละการกลับคืน (% recoveries) ของสารกลุ่มในโตรฟูราน	34

สารบัญภาพ

หน้า	
รูปที่ 1 ตัวอย่างของไมโครฟลูอิดิกส์ที่มีการใช้งาน	6
รูปที่ 2 ตัวอย่าง paper base microfluidic ที่ใช้ในการวิเคราะห์	7
รูปที่ 3 การออกแบบ microflow channel สำหรับวิเคราะห์ฟอสเฟต	11
รูปที่ 4 การออกแบบใช้งาน microflow channel สำหรับวิเคราะห์ nicotinamide adenine dinucleotide	11
รูปที่ 5 การออกแบบใช้งาน meso-fluidics channel สำหรับวิเคราะห์	17
รูปที่ 6 การทดสอบอุปกรณ์มีโซฟลูอิดิกส์แบบกระดาษสำหรับวิเคราะห์เหล็ก	18
รูปที่ 7 การตรวจหาความเข้มของสีในแผ่นมีโซฟลูอิดิกส์ ด้วยโปรแกรมไฟโตชีบส์	18
รูปที่ 8 แผนผังการสังเคราะห์สารประกอบ tris(2, 2'-bipyridyl)ruthenium (II) ($\text{Ru}(\text{bpy})_3^{2+}$)	19
รูปที่ 9 ลวดลายแผ่นสกรีนบนกระดาษ โรมาโทกราฟี ภายใต้แสงอัลตราไวโอเลต ที่ความยาวคลื่น 366 นาโนเมตร	21
รูปที่ 10 การออกแบบลวดลายแผ่นสกรีน	22
รูปที่ 11 รูปภาพแสดงการเกิดสีบนแผ่นอุปกรณ์มีโซฟลูอิดิกส์แบบกระดาษที่ใช้ในการทดสอบปริมาณ ไอออนเหล็กด้วยไฟ โอลูไซยาเนต	23
รูปที่ 12 กราฟความสัมพันธ์ระหว่างค่าการเปลี่ยนแปลงสี (RGB) กับความเข้มข้นของ Fe^{3+}	23
รูปที่ 13 ไซคลิกโวลาเเพม โมแกรมของสารประกอบ tris(2,2' bipyridyl) rhuthenium(III)	25
รูปที่ 14 ชุดเครื่องมือสำหรับตรวจวัดในโทรฟูรานด้วยเทคนิคอิเลคโทรเคมิลูมิเนสเซนซ์	26
รูปที่ 15 ค่าสัญญาณแสดงจากปฏิกิริยาอิเลคโทรเคมิลูมิเนสเซนซ์	27
รูปที่ 16 กลไกการเกิดปฏิกิริยาอิเลคโทรเคมิลูมิเนสเซนซ์ของ $\text{Ru}(\text{bpy})_3^{2+}/\text{QDs ECL/Nitrofuran}$	28
รูปที่ 17 ผลการศึกษาสภาวะที่เหมาะสมของระบบตรวจวัดสารกลุ่ม ในโทรฟูรานแบบ univariate	31

การประดิษฐ์อุปกรณ์มีโซฟลูอิดิกส์แบบใช้แล้วทิ้ง สำหรับการวิเคราะห์สารต้านจุลชีพ
บางชนิดโดยการตรวจวัดการเปล่งแสงเคมีลูมิเนสเซนต์ชนิดหนึ่งยาน้ำด้วยไฟฟ้า

**Fabrication of Disposable Mesofluidic Devices for the Determination of Selected
Antibiotics via Electrogenerated Chemiluminescence Detection**

ศักดิ์ชัย เสารียรพีระกุล ธนาภินทร์ แตงกوارัมย์ และ มาโนชย์ ถอนอมวัฒน์

Sakchai Satienperakul Tanin Tangkuaram and Manoch Thanomwat

สาขาวิชาเคมี คณะวิทยาศาสตร์ มหาวิทยาลัยแม่โจ้ จังหวัดเชียงใหม่

Department of Chemistry, Faculty of Science, Maejo University, Chiang Mai

บทคัดย่อ

วิธีการวิเคราะห์ปริมาณสารกลุ่มในโรคพิวราน ด้วยเทคนิคอิเลคโทรเคมีลูมิเนสเซนต์ (ECL) จากปฏิกิริยาของ ทริส(2,2'-ในไฟริดิล)รูทีนี่ยม(II) และ แอลด-ซิสเตอิน-ควอนตัมคอท โดยงานวิจัยนี้ได้ทำการสังเคราะห์แอลด-ซิสเตอิน-ควอนตัมคอท และได้เติมลงไปในสารละลายนอง ทริส(2,2'-ในไฟริดิล)รูทีนี่ยม(II) ในสารละลายนอกสเปตบันฟเฟอร์ pH 7.5 เมื่อให้สักยีไฟฟ้าตั้งแต่ +0.4 - +1.6 โวลต์ ด้วยเทคนิคไซคลิกโวลแท็มเมตري พบร่วมกับที่สักยีไฟฟ้าเท่ากับ 1.1 โวลต์ จะเกิดออกซิเดชันพีค พร้อมกับเกิดการหายแสงออกมา ซึ่งสามารถวัดแสงดังกล่าวด้วยหลอดขยายสัญญาณแสง ที่สักยีไฟฟ้าเท่ากับ 850 โวลต์ ปริมาณแสงที่เพิ่มขึ้นเกิดจากการถ่ายโอนพลังงานของแอลด-ซิสเตอิน-ควอนตัมคอท เติมลงไป โดยพบว่าเมื่อมีสารกลุ่มในโรคพิวราน ปริมาณแสงที่เกิดขึ้นจากปฏิกิริยาดังกล่าวมีค่าลดลง ซึ่งอาจเกิดจากกระบวนการขับยับในปฏิกิริยาอิเลคโทรเคมีลูมิเนสเซนต์ ภายใต้สภาวะที่เหมาะสมดังกล่าวจะทำให้สามารถทำการวิเคราะห์สารกลุ่มในโรคพิวรานได้ในช่วงความเป็นเส้นตรงอยู่ในช่วง 10×10^{-6} - 100×10^{-6} มิลาร์ ค่าบีดจำกัดต่ำสุดของการตรวจวัด ฟูร์ลทาโคน (FTD) ฟูร่าโซริโคน (FZD) และ ในโรคฟูร่าโทอิน (NFT) มีค่าเท่ากับ 0.40, 0.73 และ 0.60 ในมิลาร์ ตามลำดับวิธีการดังกล่าวสามารถนำไปตรวจหาปริมาณสารตอกถั่งกลุ่มในโรคพิวราน ในตัวอย่างของอาหารสัตว์ได้ และจะได้เพื่อพัฒนาอุปกรณ์มีโซฟลูอิดิกส์ที่สร้างขึ้นบนกระดาษ โดยใช้เครื่องพิมพ์อิงค์เจ็ท และอัลกิลิกโตน ไดเมอร์เป็นหมึกพิมพ์ลงบนกระดาษ สำหรับนำไปประยุกต์ใช้ในการวิเคราะห์ในภาคสนามแบบใช้แล้วทิ้งต่อไป

คำสำคัญ: อุปกรณ์มีโซฟลูอิดิกส์ เคมีลูมิเนสเซนต์ สารต้านจุลชีพ

ABSTRACT

A new approach to enhance the electrogenerated chemiluminescence (ECL) of the tris ($2, 2'$ -bipyridyl)ruthenium (II)(Ru(bpy)₃)²⁺ system was proposed using resonance energy transfer with L-cysteine-capped cadmium telluride quantum dots (CdTe-QDs) in aqueous solution. The oxidative peak signal of Ru(bpy)₃²⁺ occurred at a voltage of 1.10 V, when the potential was cycled between 0.4 and 1.6 V using cyclic voltammetry with a carbon screen-printed electrode (SPEC) in a 0.11 M phosphate buffer at pH 7.50. The L-cysteine-capped cadmium telluride quantum dots (CdTe-QDs) were synthesized and added into the solution of Ru(bpy)₃²⁺ to magnify the ECL sensor. The ECL emission signal was measured by a red-sensitive photomultiplier tube set at a constant potential of 850 V. The extreme enhancement of the ECL intensity was achieved via the energy transfer by the L-cysteine-capped CdTe-QDs. It was found that the induced ECL from the Ru(bpy)₃²⁺CdTe-QDs system was inhibited by the presence of selected nitrofurans. This quenching effect of nitrofuran antibiotics on the anodic ECL of Ru(bpy)₃²⁺CdTe-QDs was found to be selective and concentration dependent and was observed to have a linear relationship over the concentration range $10\text{-}100 \times 10^{-6}$ M. The detection limits were found to be 0.40, 0.73 and 0.60 μM for furaltadone (FTD), furazolidone (FZD) and nitrofurantoin (NFT). In addition, the proposed ECL method was successfully applied to detect the total residuals of selected nitrofuran residues in animal feed samples with satisfactory results. Furthermore, paper-based microfluidic devices for the determination of selected contaminant is being developed. The mesofluidics platform was printed by inkjet printer to create hydrophobic channels in Whatman chromatographic paper using an alkyl ketone dimer (AKD) as a hydrophobic ink. This technique will be further applied as a disposable field-trip devices.

Keyword: mesofluidics device, chemiluminescence, antibiotics

คำนำ

ปัจจุบันวิทยาศาสตร์มีความก้าวหน้ามากขึ้น ทำให้มีการศึกษาหรือทำการวิจัยในแต่ละสาขาวิชาต่างๆ รวมถึงพัฒนาระบบการวิเคราะห์ทางด้านเคมี ที่มีบทบาทความสำคัญทางด้านการเกษตร อาหาร ยารักษาโรค เป็นต้น เนื่องด้วยเทคนิคที่ใช้ในการวิเคราะห์ในปัจจุบัน บางเทคนิคต้องใช้เวลานานในการเตรียมตัวอย่างก่อนนำไปทำการวิเคราะห์ เพื่อให้สามารถตรวจวัดได้ในปริมาณที่ต่ำๆ โดยปราศจากการรบกวน อีกทั้งเครื่องมือที่ทำการวิเคราะห์มีราคาสูง ทำให้ไม่คุ้มกับการทดลองในแต่ละครั้ง ดังนั้นกิจวิทยาศาสตร์จึงได้พัฒนาวิธีการวิเคราะห์ทางเคมีที่สะอาด (green analytical chemistry) หรือพัฒนาเครื่องมือวิเคราะห์ที่มีราคาถูก มีการลดใช้สารตัวอย่างและสารเคมีปริมาณน้อย และสามารถตรวจวิเคราะห์ได้ในระดับที่มีความเข้มข้นน้อยๆ ซึ่งผลิตจากวัสดุที่หาได้่ายมีราคาถูก สามารถใช้แล้วทิ้งได้ เพื่อลดความยุ่งยากและค่าใช้จ่ายในการวิเคราะห์ตัวอย่าง

เนื่องจากปัญหาการปนเปื้อนของสารเคมี หรือการตกค้างในผลิตภัณฑ์อาหาร ที่เกิดจากกิจกรรมทางการเกษตร ซึ่งในบางครั้งก็เกิดจากการปนเปื้อนจากการใช้สารเคมีที่ใช้เพื่อรักษาผลผลิตทางการเกษตร กระบวนการเก็บถนนรักษาอาหาร หรือการเลี้ยงสัตว์ การปศุสัตว์ โดยเฉพาะอย่างยิ่งเมื่อกับฟาร์มหรือพื้นที่เกษตรกรรมขนาดใหญ่ เนื่องจากเกษตรกรมีความจำเป็นที่จะต้องควบคุมการแพร่ระบาดของเชื้อโรคต่างๆ ทำให้ปัญหาการใช้สารต้านจุลชีพ (antimicrobial compounds) หรือยาปฏิชีวนะที่มีฤทธิ์เฉียบพลันรุนแรง เพื่อทำความสะอาด หรือยับยั้งการเจริญเติบโตของจุลชีพต่างๆ ในการเกษตร (มาลินี ลิมโภca, 2540) ซึ่งเป็นสาเหตุสำคัญของการปนเปื้อนและตกค้างมายังผู้บริโภค และส่งผลให้ผลผลิตทางการเกษตรของประเทศไทย และต้องมีการตรวจสอบอย่างเข้มงวด เนื่องจากหากตรวจสอบในผลิตภัณฑ์อาหารส่งออก จะทำให้เกิดการส่งคืนสินค้า และการกีดกันทางการค้าของประเทศผู้นำเข้าในเวลาต่อมา โดยเฉพาะกับกลุ่มสหภาพยุโรป สหรัฐอเมริกา และ ญี่ปุ่น ที่มีความเข้มงวดต่อคุณภาพของอาหารที่นำเข้าเป็นอย่างมาก

อุตสาหกรรมการเลี้ยงผึ้งในเขตภาคเหนือตอนบน ประสบปัญหาในเรื่องของสารตกค้างของยาปฏิชีวนะ ได้แก่ ในไตรฟูราน (nitrofuran) คลอ雷มเฟนิคอล (chloramphenical) และเตตราซัลคลิน (tetracycline) เนื่องจากคลอ雷มเฟนิคอลและไตรฟูรานเป็นยาต้านแบคทีเรียในกลุ่มออกฤทธิ์แบบกว้าง คือสามารถฆ่าแบคทีเรียได้ทั้งแกรมบวกและลบ สามารถป้องกันการเจริญของแบคทีเรีย และฆ่าเชื้อแบคทีเรียได้ในอุตสาหกรรมเลี้ยงผึ้ง เกษตรกรจึงนิยมใช้ในการรักษาโรคที่เกิดเนื่องจากเชื้อแบคทีเรีย โดยมาตรฐานควบคุมกำหนดไว้ว่าควรมีปริมาณคลอ雷มเฟนิคอลไม่เกิน 0.3 ไมโครกรัมต่อกิโลกรัม ในไตรฟูรานต้องไม่พぶปนเปื้อน และเตตราซัลคลินไม่เกิน 25

ในโครงการต่อ กิโลกรัม แต่เนื่องจากยาปฏิชีวนะที่ตกค้างอาจก่อให้เกิดอันตรายต่อผู้บริโภค โดยอาจก่อให้เกิดโรคโลหิตจาง ชนิดที่เรียกว่า aplastic anaemia ซึ่งยังไม่มีวิธีรักษา และมีโอกาสเสียชีวิตได้ นอกจากนี้ยังเป็นสารก่อมะเร็งอีกด้วย สำหรับเตตราซัยคลิน เป็นยาด้านแบคทีเรีย เช่นเดียวกับคลอเรมเพนิคลอ ข้อห้ามของเตตราซัยคลินคือ ห้ามเด็กอายุต่ำกว่า 8 ขวบ และสตรีตั้งครรภ์ใช้ ดังนั้นถ้าหากมีการนำมารับประทานจะมียาต้านจุลชีพตกค้างในปริมาณมากไปบริโภค หรือนำไปผสมในผลิตภัณฑ์อื่นๆ เช่น อาหารเข้าสำเร็จรูป ขนมปัง หรือโดยเฉพาะนมสำหรับเด็ก อาจได้รับสารดังกล่าวซึ่งจะเป็นอันตรายโดยตรง (Barbosa และคณะ, 2007) ทำให้ต้องมีการตรวจสอบการตกค้างของยาปฏิชีวนะเหล่านี้ในอาหารส่งออกไปยังญี่ปุ่นและประเทศในกลุ่มสหภาพยุโรป นอกจากนี้ยังพบการปนเปื้อนในอาหารสัตว์ และตกค้างในรูปของเมตาบอลไลท์ ในผลิตภัณฑ์ทางการเกษตร เนื่องจากสารตกค้างดังกล่าวมีผลข้างเคียงต่อผู้บริโภค ส่งผลให้เกิดการดื้อยาในกรณีที่ผู้บริโภคได้รับยาในปริมาณมากและติดต่อ กันเป็นเวลานาน

โดยวิธีที่ตรวจวัดที่นิยมใช้ในปัจจุบันจะอาศัยเทคนิคโคมาราฟีของเหลว และแมสสเปกโตรเมตري โดยใช้เครื่อง LC-MS/MS ซึ่งเป็นวิธีที่นิยมใช้กันมากในการยืนยันถึงชนิดของสารและปริมาณ เพราะว่ามีความจำเพาะสูง สามารถตรวจสอบสารที่มีปริมาณเล็กน้อยได้อย่างแม่นยำ และใช้ตัวอย่างเพียงเล็กน้อยเท่านั้น (Draisci และคณะ 1997, Verdon และคณะ 2007) อย่างไรก็ตามการใช้เครื่อง GC-MS หรือ LC-MS มีค่าใช้จ่ายสูงในการวิเคราะห์ และใช้เวลานาน ดังนั้นในปัจจุบัน นักวิจัยมีความพยายามในการสร้างอุปกรณ์ในโครงฟลูอิดิกส์ให้เป็นอุปกรณ์วิเคราะห์แบบพกพาที่มีราคาไม่แพง จากวัสดุรากคาลูกสามารถใช้แล้วทิ้งได้โดยเช่นกระดาษ ซึ่งเมื่อนำมาประยุกต์ใช้ให้เหมาะสมกับเครื่องตรวจวัดที่มีสภาพไวสูง และมีความจำเพาะเจาะจงสูง อย่างเช่นการตรวจวัดด้วยเคมีไฟฟ้า (electrochemical analysis) (Richer, 2004) การตรวจวัดการเรืองแสงด้วยปฏิกิริยาเคมี หรือการเหนี่ยวนำโดยอาศัยปฏิกิริยาทางไฟฟ้าเคมี ให้เกิดเป็นผลิตภัณฑ์ที่สามารถตรวจด้วยวิธีทางโฟโตเคมิลูминิสเซนซ์ (photo-chemiluminescence) (Gracia-Campana, 2001) จะสามารถช่วยให้การวิเคราะห์ทดสอบทำได้อย่างมีประสิทธิภาพและรวดเร็ว มีสภาพไวของการวิเคราะห์สูง และมีขั้นตอนของการตรวจนิวเคราะห์ในระดับความเข้มข้นต่ำๆ ได้ค้

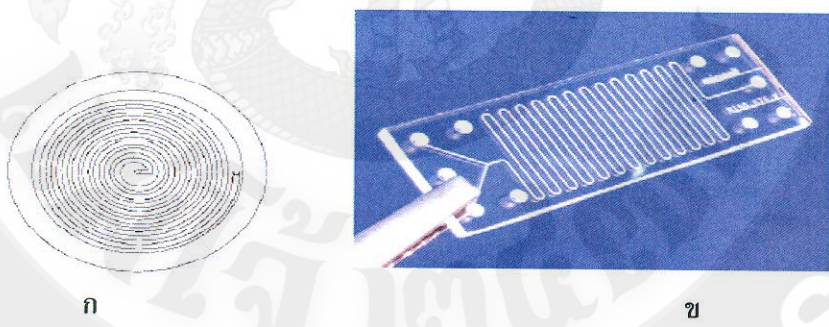
จากเหตุผลดังกล่าว ข้างต้นจึงทำให้การประยุกต์ใช้ระบบปฏิบัติการขนาดจิ๋ว ซึ่งได้รับความนิยมอย่างสูงในวงการนักวิทยาศาสตร์ที่มีแนวทางการวิจัยพัฒนาเครื่องมือวิเคราะห์ที่มีขนาดกะทัดรัด และมีราคาไม่สูงมากนัก โดยมีรายงานวิจัยหลายฉบับ ในช่วงระยะเวลา 4-5 ปีที่ผ่านมาที่ใช้ระบบปฏิบัติการขนาดจิ๋ว ในการวิเคราะห์ตรวจสอบสารปนเปื้อนและสารมลพิษต่างๆ ทั้งในทางลึกลับ อาหารและยา รวมถึงตัวอย่างทางชีวภาพและเภสัชกรรม ซึ่งพบว่าได้เป็นผลสำเร็จที่น่าพอใจ

มีโซ-ไนโกรฟลูอิดิกส์ (Meso-microfluidics) (Johnson และคณะ, 2012, Chilling และคณะ, 2012) คือวิทยาการใหม่ที่เกี่ยวกับวิทยาศาสตร์และเทคโนโลยีของการศึกษาและประยุกต์ใช้งานระบบการจัดการของไอลด (fluid) เช่น ของเหลว หรือ ก๊าซ ที่มีปริมาณน้อยมาก (ต่ำกว่า 0.001 ไมโครลิตร) ที่ให้ผลผ่านร่องหรือห่อที่มีความกว้าง 0.1-100 ไมโครเมตร ห่อที่เล็กมากซึ่งเป็นโครงข่ายสำหรับการไหลของอุปกรณ์ไนโกรฟลูอิดิกส์ (microfluidic device) หรือเรียกอีกชื่อว่า Lab-on-a-chip (LOC) โดยถูกสร้างขึ้นด้วย micro-fabrication techniques ในช่วงเริ่มต้นของการพัฒนาอุปกรณ์ไนโกรฟลูอิดิกส์ถูกสร้างขึ้นจากวัสดุฐานรอง เช่น ซิลิโคนและแก้วด้วยวิธีการสร้างลายวงจรด้วยแสง(photolithography) และแกะสลัก (etching) ซึ่งดัดแปลงมาจากอุตสาหกรรมการอุตสาหกรรมและพัฒนาวงจรไฟฟ้าขนาดเล็ก (microelectronic industry) แต่กระบวนการผลิตมีราคาสูง และไม่มีดีหยุ่นจึงเป็นแรงผลักดันให้ปัจจุบันนักวิจัยส่วนใหญ่หันมาสนใจสร้างและพัฒนาอุปกรณ์ไนโกรฟลูอิดิกส์ในพอลิเมอร์แทนเนื่องจากใช้เวลาในการผลิตน้อย มีคุณสมบัติ biocompatibility อีกทั้งยังมีราคาถูกจึงสามารถใช้ ครั้งเดียวแล้วทิ้งได้ ด้วยการประยุกต์ใช้เทคโนโลยี soft lithography ที่อยู่บนฐานของการพิมพ์แบบ (printing) และหล่อแบบ (molding) จากแม่แบบต่างๆ โดยที่แม่แบบสามารถสร้างได้จากเทคนิคต่างๆ นอกเหนือจากเทคนิค photolithography เช่น electron beam lithography, x-ray lithography หรือ ion beam lithography เป็นต้น วิทยาการไนโกรฟลูอิดิกส์เริ่มรุ่งเรืองขึ้นเมื่อประมาณปี พ.ศ.2530 ปัจจุบันกำลังได้รับความสนใจเป็นอย่างมากจากมหาวิทยาลัยชั้นนำของโลกหลายแห่ง มีศูนย์วิจัยด้านไนโกรฟลูอิดิกส์ที่กำลังก้าวสู่หน้าอย่างรวดเร็ว เช่น Folch Lab ของ University of Washington และ The Whitesides Research Group ของ Harvard University ประเทศสหรัฐอเมริกา หรือ Microfluidics Research Group ของ Max Plank Institute-DS ประเทศไทยมีศูนย์วิจัย Center for Ion Beam Applications (CIBA) ของ National University of Singapore (NUS) ประเทศสิงคโปร์ซึ่งได้กลายเป็นศูนย์วิจัยชั้นนำแห่งหนึ่งของโลก

การใช้อุปกรณ์ไนโกรฟลูอิดิกส์ในห้องปฏิบัติการวิจัยต่างๆ เพิ่มขึ้นแต่ละวันไม่เห็นชัดว่ามีการนำมาใช้กันแบบทั่วๆ ไป เพราะบางคงมีปัญหาสำหรับการผลิตเชิงอุตสาหกรรม เช่น พอลิเมอร์ PDMS ที่นิยมใช้เป็นวัสดุหลักในปัจจุบันก็ใช้ได้กับของเหลวเพียงบางชนิดแต่ซิลิโคนหรือแก้วที่มีความทนทานต่อสารละลายมากชนิดกว่า ก็เป็นวัสดุที่มีข้อด้อยในการทำออกมานี้เป็นระบบไนโกรฟลูอิดิกส์ที่ยุ่งยากและมีต้นทุนสูงกว่า การคืนค่าวิจัยจึงยังต้องคำนึงถึงการควบคู่กันไป แต่เพราระมีการคาดการณ์ไว้ว่า microfluidic technology จะมีตลาดในกลุ่มอุตสาหกรรมวิทยาศาสตร์ชีวภาพที่มีอนาคตที่น่าสนใจผลิตภัณฑ์ที่อาศัยประโยชน์จากวิทยาการไนโกรฟลูอิดิกส์ซึ่งได้เริ่มทยอยออกสู่

ตลาด เช่น เครื่องมือตรวจส่องการแสดงออกของยีนส์ (DNA Microarrays) ที่มีชื่อทางการค้าว่า Gene Chip ผลิตโดยบริษัท Affymetrix ที่เมือง Santa Clara แคลิฟอร์เนีย สหรัฐอเมริกา เป็นต้น

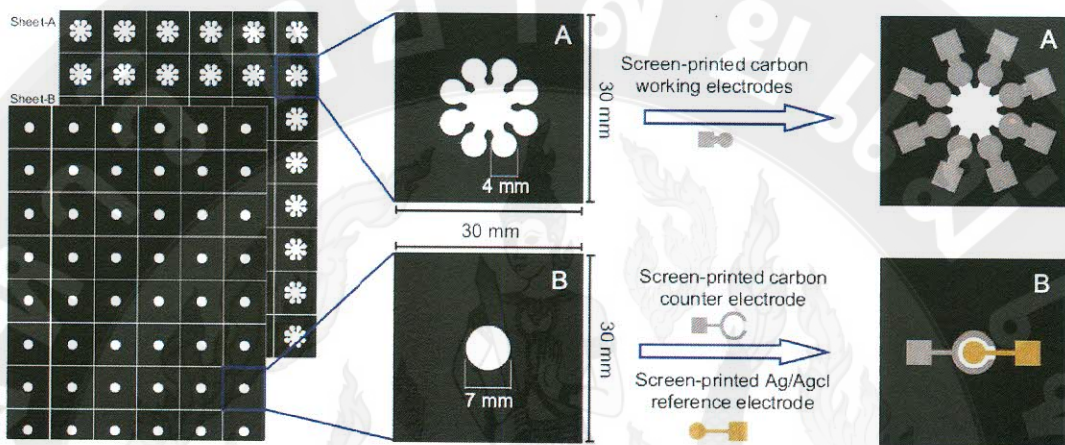
ตัวอย่างงานวิจัยของ Laitip และคณะ (2011) Sattrupinat และคณะ (2011) และงานวิจัยของ Wang และ คณะ (2010) ได้มีการประยุกต์ใช้วิทยาการ ไมโครฟลูอิดิกส์ ร่วมกับเทคนิคเคมิลูมิเนสเซนต์ ทำให้การวิเคราะห์มีประสิทธิภาพและว่องไวสูง ซึ่งในอนาคตระบบนี้จะเป็นที่น่าสนใจและนิยมใช้กันในด้านการศึกษา นอกจากนี้ระบบโฟลอินเจกชันเคมิลูมิเนสเซนต์ยังทำได้ง่ายปัจจัยสำหรับการวัดด้วยเคมิลูมิเนสเซนต์ เช่น การผสมของสารละลายรีเอเจนต์และเซลล์การตรวจวัด ใน การออกแบบโฟลเซลล์สำหรับการตรวจวัดเคมิลูมิเนสเซนต์ ดังแสดงในรูป 2 การนำกระเพรีเอเจนต์ไอลผ่านเข้ามายังส่วนเซลล์ตรวจวัดจะต้องมีอย่างน้อยสองช่องทางที่ให้สารเคมีไอลผ่าน ก็อ ซองตัวอย่างและกระเพรีเอเจนต์ ซึ่งสารละลายรีเอเจนต์ต้องมีการผสมกันอย่างดีเพื่อให้มีการเปล่งแสงได้มากที่สุด แล้ววัดแสงที่เกิดขึ้นด้วยหลอดวัดแสง (PMT) สารละลายรีเอเจนต์จะผสมกับบริเวณเซลล์ตรวจวัด ในระบบโฟลอินเจกชันเคมิลูมิเนสเซนต์จำนวนมากจะใช้เซลล์การตรวจวัดแบบกันรอย ซึ่งให้ผลการทดลองที่น่าพอใจ โดยของเหลวจะไอลผ่านช่องที่จะไปตามผิวน้ำที่เรียบราบอย่างเหมาะสม สารละลายรีเอเจนต์จะผสมและไอลผ่านตัวตรวจวัดในลักษณะเป็นวงกลม



รูปที่ 1 ตัวอย่างของไมโครฟลูอิดิกส์ ที่มีการใช้งาน ก) แบบกันรอย , ข) แบบเหลี่ยม

ในปัจจุบันนี้ได้มีการออกแบบกระดาษและสร้างแนวแผ่นกระดาษที่เรียกว่า paper based microfluidic devices (PADs) เพื่อให้ตัวอย่างที่ใช้ในการทำปฏิกิริยามีพื้นที่ทางการไอลที่ถูกต้องและคงที่ นักวิจัยได้ดัดแปลงน้ำหนึ่งเครื่องพิมพ์เพื่อให้มีสมบัติที่เหมาะสม ก็อ ไม่มีข้าวหรือมีความไม่ชอบน้ำ (hydrophobic) และ พิมพ์รูปแบบแนวการไอลของ

สารละลายน้ำในกระดาษ เพื่อใช้อุปกรณ์สำหรับตรวจวิเคราะห์ตัวอย่าง อุปกรณ์ตรวจวัดแบบใช้แล้วทิ้งคือกระดาษเป็นอุปกรณ์ที่คิดค้นขึ้นมาใหม่ ซึ่งในปัจจุบันมีการใช้กันอย่างแพร่หลาย เพราะอุปกรณ์นี้มีการจัดทำง่าย ต้นทุนต่ำ และสามารถพกพาได้ วิธีนี้เป็นการรวมเอาเทคนิค digital ink-jet printing มาใช้ โดยใช้ไขควงคลื่นช่องบนกระดาษ ทำให้สามารถวิเคราะห์หาปริมาณสารต่างๆ ที่สนใจได้ง่ายและรวดเร็วขึ้น ดังเช่นงานวิจัยของ Ge และคณะ. (2012) ดังแสดงในรูปที่ 2 เป็นต้น



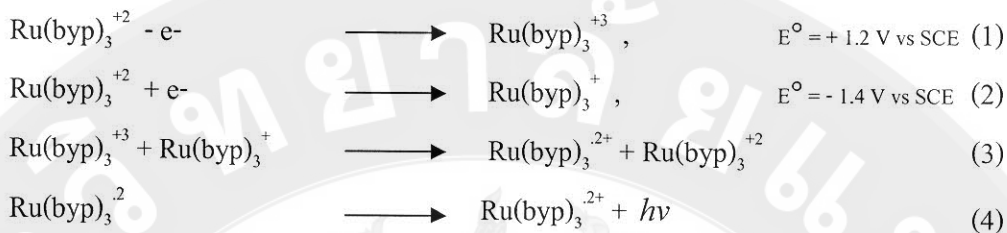
รูปที่ 2 ตัวอย่าง paper base microfluidic ที่ใช้ในการวิเคราะห์

ประโยชน์ของไมโครฟลูอิดิกส์มีข้อดีหลายประการคือ

1. สอดคล้องกับพัฒนาการของโลกที่มุ่งสู่อุปกรณ์ต่างๆ ที่มีขนาดเล็กลงๆ (miniaturization)
2. เป็นอุปกรณ์วิเคราะห์แบบพกพาที่มีราคาไม่แพง สามารถใช้แล้วทิ้งได้ไม่ต้องล้างเปลี่ยนเรื่องการทำความสะอาดเพื่อนำกลับมาใช้ใหม่
3. ใช้ปริมาณสารที่เกี่ยวข้องในระดับต่ำมากจึงไม่ล้างเปลี่ยนในกรณีที่ต้องใช้สารเคมีราคาแพง และเมื่อใช้สารเคมีน้อยจึงควบคุมปริมาณได้อย่างแม่นยำและใช้เวลาสั้นคุ้มค่ากว่าเดือนเดียว
4. ขนาดที่เล็กมากของระบบไมโครฟลูอิดิกส์จึงไม่ล้างเปลี่ยนพลังงาน
5. มีโอกาสที่จะนำไปทำเป็นระบบอัตโนมัติได้สูงสามารถลดขั้นตอนที่ต้องเกี่ยวข้องกับมนุษย์ มีศักยภาพที่จะเป็น real-time analysis ที่สามารถควบคุมได้จากระยะไกล (remote sensing)

อิเล็กโทรเคมีลูมิเนสเซนต์ (Electrochemiluminescence/ECL) (พิเศษ นามจันทร์, 2554) กือปรากฏการณ์ที่เกี่ยวข้องกับการปล่อยคลื่นแสงแบบเคมีลูมิเนสเซนต์ประเภทหนึ่งซึ่งเกิดจากปฏิกิริยาเคมีไฟฟ้าโดยทำให้เกิดการเปลี่ยนแปลงพลังงานภายในของสารผลิตภัณฑ์ซึ่งเกิดการ

electron transfer ทำให้ออนในสภาพเร้า (excited state) ซึ่งมีอคลับคืนมาสู่สภาพพื้น (ground state) ก็จะมีการเปลี่ยนแปลงอุณหภูมิและแรงดึงดูด ที่สำคัญคือ อิเล็กโทรเคมิลูมิเนสเซนต์ เช่น การเกิดอิเล็กโทรเคมิลูมิเนสเซนต์ของ $\text{Ru}(\text{byp})_3^{+2}$ ดังสมการ



หลักการวิเคราะห์แบบอิเล็กโทรเคมิลูมิเนสเซนต์ โดยทั่วไปแล้วจะอาศัยการก่อให้เกิดปฏิกิริยาที่สามารถปลดปล่อยพลังงานที่มีความเข้มข้นสูงอุณหภูมิอย่างต่อเนื่องในระยะเวลาหนึ่ง ซึ่งปฏิกิริยานี้จะทำให้สามารถศึกษาหรือวัดค่าความเข้มของแสงที่ปลดปล่อยออกมายได้โดยอาศัยเครื่องมือหรือวิธีการง่าย ๆ ไม่ซับซ้อน โดยจะสามารถวัดค่าความเข้มของแสงได้ด้วยหลอดวัดแสง (photomultiplier tube, PMT) ส่วนประกอบที่สำคัญสำหรับการวิเคราะห์ในระบบที่มีการไหลแบบต่อเนื่องของเคมิลูมิเนสเซนต์ คือ ส่วนผสม (reagent mixing chamber) เซลล์ (flow cell) เครื่องตรวจวัดสัญญาณ (photo detector หรือ photomultiplier tube)

การนำเอาเทคนิคของมีโซ/ไมโครฟลูอิดิกส์ ร่วมด้วยการตรวจวัดแบบอิเล็กโทรเคมิลูมิเนสเซนต์ก่อให้เกิดผลเดียวกันอย่างยิ่ง เนื่องจากความไวของการตรวจวัดแบบอิเล็กโทรเคมิลูมิเนสเซนต์ รวมทั้งเมื่อใช้เทคนิค มีโซ/ไมโครฟลูอิดิกส์ (meso/microfluidics) และวิธีซึ่งทำให้ใช้ปริมาณของสารที่ต้องการวิเคราะห์ในปริมาณที่น้อย ประหยัดค่าใช้จ่าย และมีความรวดเร็ว ส่งผลให้วิธีการวิเคราะห์ดังกล่าวสามารถตรวจวิเคราะห์ ในระดับความเข้มข้นต่ำๆ ในระดับ Ultra trace หรือ ความเข้มข้นระดับส่วนในพันล้านส่วน ได้

วัตถุประสงค์ของโครงการวิจัย

1. เพื่อออกแบบและสร้าง เครื่องมือ สำหรับใช้การตรวจวิเคราะห์สารต้านจุลชีพ บางชนิด ด้วยเทคนิคระบบปฎิบัติการขนาดจิ๋ว (mesofluidics) จากวัสดุรากคาลูกสามารถใช้แล้วทิ้ง ได้โดยเชื่อมต่อระบบ

2. เพื่อศึกษาและพัฒนา ตัวตรวจวัดที่มีสภาพไฟสูงชนิดอิเล็กโทรเคมิลูมิเนสเซนต์ มีลูมิเนสเซนต์ (electrochemiluminescence) ร่วมกับการใช้อุปกรณ์ nano ควบคุมตั้งแต่ (quantum dots) ที่ช่วยหนีบวันหรือขยายสัญญาณทำให้เกิดปฏิกิริยาเคมิลูมิเนสเซนต์

3. เพื่อนำเครื่องมือที่พัฒนาขึ้น มาใช้ตรวจวิเคราะห์สารปนเปื้อนสารต้านจุลชีพ บางชนิดในอาหาร หรือผลิตภัณฑ์ทางการเกษตร

ประโยชน์ที่คาดว่าจะได้รับ

1. สามารถออกแบบและสร้าง เครื่องมือ สำหรับใช้การตรวจวิเคราะห์สารต้านจุลชีพ บางชนิด ด้วยเทคนิคระบบปฏิบัติการขนาดจิ๋ว (mesofluidics) จากวัสดุรากฐานสามารถใช้ได้ ที่สุด เนื่องจากสามารถใช้ได้โดยเชื่อมต่อระบบ

2. สามารถพัฒนา ตัวตรวจวัดที่มีสภาพไวสูงชนิดอิเล็ก trode เคมิลูมิเนสเซนต์มิลูมิเนสเซนต์ (electrochemiluminescence) ร่วมกับการใช้ออนุภาคนาโนควอนตัมด็อต (quantum dots) ที่ช่วยให้ยาน้ำหนึ่งหรือขยายสัญญาณทำให้เกิดปฏิกิริยาเคมีแสงเคมิลูมิเนสเซนต์

3. สามารถนำเครื่องมือที่พัฒนาขึ้น มาใช้ตรวจวิเคราะห์สารปนเปื้อนสารต้านจุลชีพ บางชนิดในอาหาร หรือผลิตภัณฑ์ทางการเกษตร

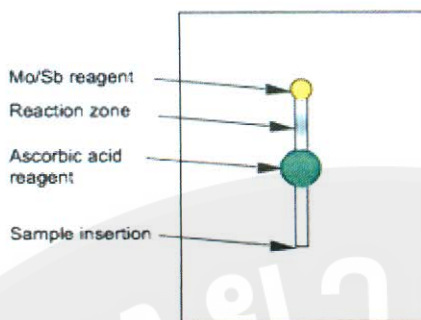
4. สามารถนำเสนอผลงานทางวิชาการ ในที่ประชุมระดับชาติและระดับนานาชาติ

5. สามารถเผยแพร่ผลงานทางวิชาการ ในวารสารระดับชาติและระดับนานาชาติ

การตรวจเอกสาร

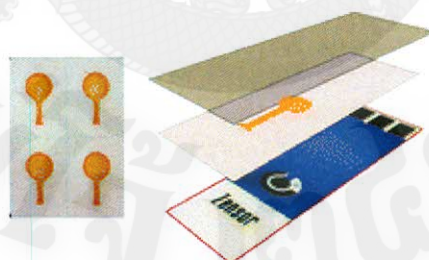
การวิจัยที่จะได้ศึกษาต่อไปในครั้งนี้ จะอาศัยการใช้เทคนิคการตรวจวัดแบบอิเลคโทรเคมีลูมิเนสเซนต์ในการตรวจวิเคราะห์สารต้านชุดซึ่งอยู่ในโตรฟิวранบังชนิด ที่อาจเป็นปัจจุบันในอาหารสัตว์ หรือผลิตผลทางการเกษตร เช่นน้ำผึ้ง นมผึ้ง เกสรผึ้ง จากแหล่งผลิตบริเวณจังหวัดเชียงใหม่และจังหวัดใกล้เคียง ซึ่งอาจตกลงและส่างผลมาถึงผู้บริโภค โดยศึกษางานข้าวไฟฟ้าพิมพ์สกรีนการรับอนุร่วมกับระบบปฏิบัติการขนาดจิ๋วที่ผลิตจากกระดาษกรอง เพื่อให้สามารถทำได้ง่าย รวดเร็ว และประหยัดสารเคมีที่ใช้ในการทำปฏิกริยา สามารถใช้แล้วทิ้งได้ ซึ่งปัจจุบันพบว่ามีการใช้งานแพร่หลายขึ้นอย่างมาก เนื่องจากเซลล์โลสไฟเบอร์ในกระดาษ ทำหน้าที่เป็นช่องทางในการไหลของสารละลายที่มีตัวทำละลายเป็นน้ำ (hydrophilic pathway) โดยอาศัยแรงตึงผิวในการขับเคลื่อนสารละลาย การออกแบบและผลิตช่องทางเดิน (channel) ซึ่งเดิมในระยะเริ่มต้นของการศึกษาที่ผ่านมา จะใช้เทคนิคโฟโตลิโนกราฟิก (photolithography) โดยอาศัยกระบวนการผลิตที่ค่อนข้างซับซ้อน ซึ่งประกอบด้วยการจุ่มน้ำกระดาษลงในสารละลายต้านแสง (photoresist solution) การปิดช่องการส่องแสง (masking) โดยแม่พิมพ์ต้นแบบที่ออกแบบไว้ และนำไปส่องแสงเพื่อให้เกิดเป็นลวดลายที่ต้องการ (Matinez และคณะ, 2007) นอกจากนี้ในระยะหลังนักวิจัยได้พัฒนาเทคนิคใหม่ๆ มาใช้ผลิตช่องทางเดินในแผ่นกระดาษได้อีกหลากหลาย เช่นงานวิจัยของกลุ่มวิจัย ด้านเคมีวิเคราะห์ ภาควิชาเคมี คณะวิทยาศาสตร์ จุฬาลงกรณ์มหาวิทยาลัย ได้นำเอาเทคนิค wax dipping มาใช้ในการผลิต paper based microfluidics ทำให้สามารถตรวจวิเคราะห์สารต่างๆ ได้ในระดับความเข้มข้นต่ำๆ เช่น โคปามีน (Rattanarat และคณะ, 2012) กลูโคส โปรตีน และโอลิฟน้ำมันต่างๆ (Apilux และคณะ, 2012)

โดยงานวิจัยนี้ สนใจจะใช้เทคนิคการพิมพ์โดยใช้เครื่องพิมพ์อิงค์เจ็ต โดยอาศัยหมึกพิมพ์ที่ทำจากวัสดุที่ไม่ชอบน้ำ (hydrophobic material) มาทำการพิมพ์บนกระดาษกรองโดยใช้漉ดลายที่ออกแบบด้วยโปรแกรมคอมพิวเตอร์ทั่วไป เช่นงานวิจัยของ Jayawardanea และคณะ (2012) ที่ใช้หมึกพิมพ์ชนิด alkenyl ketene dimer (AKD) ที่ละลายในตัวทำละลาย n-heptane มาพิมพ์บนกระดาษกรอง Whatman เบอร์ 4 เพื่อใช้เป็นช่องทางสำหรับการวิเคราะห์ฟอกสีฟ์โดยวิธีโมลิบดินัมบลู



รูปที่ 3 การออกแบบ microflow channel สำหรับวิเคราะห์ฟอสเฟต

ตัวอย่างงานวิจัยอีกชิ้นหนึ่งของ Delaney และคณะ (2011) ได้ทำการวิเคราะห์ nicotinamide adenine dinucleotide ด้วยเทคนิค paper-based microfluidic sensors โดยอาศัยหลักการของ อิเลคโทรเคมิลูมิเนสเซนต์ ของรูทีนเนียมในไฟริดิล่าส์ไวบันแพ่นกระดาษ ที่ออกแบบช่องทางเดินของสารเคมีโดยใช้เทคนิคการพิมพ์ด้วยเครื่องพิมพ์อิงค์เจ็ต มาใช้งานร่วมกับขั้วไฟฟ้าแบบพิมพ์สกรีน ทำให้สามารถวิเคราะห์สาร nicotinamide adenine dinucleotide ได้ต่ำสุดเท่ากับ 72 μM และสามารถพกพาเป็นอุปกรณ์ในภาคสนามได้ พร้อมทั้งต้นทุนในการวิเคราะห์ค่อนข้างต่ำ โดยใช้โทรศัพท์เคลื่อนที่มีความสามารถถ่ายภาพได้เป็นเครื่องมือตรวจวัด นอกจากนั้นการใช้วัสดุกระดาษที่สามารถใช้แล้วทิ้งได้



รูปที่ 4 การออกแบบใช้งาน microflow channel สำหรับวิเคราะห์ nicotinamide adenine dinucleotide

เนื่องจากการปลดปล่อยพลังงานแสงจากปรากฏการณ์เคมิลูมิเนสเซนต์ อาศัยปฏิกิริยาเคมีมีความจำเพาะของเรอเจนต์บางชนิดกับสารตัวอย่างที่ต้องการวิเคราะห์ให้เกิดผลิตภัณฑ์ เมื่อคายแสงที่มีความเข้มสูงสามารถตรวจด้วยเครื่องมืออย่างง่ายๆ ที่มีเพียงหลอดวัดแสง (photomultiplier tube) โดยการระดับหรือหน่วยนำให้เกิดปฏิกิริยาเคมีและนักวิทยาศาสตร์ยังสามารถใช้เทคนิค มิลูมิเนสเซนต์ นอกจาจะอาศัยปฏิกิริยาเคมีที่แล้ว ปัจจุบันนักวิทยาศาสตร์ยังสามารถใช้เทคนิค

ทางเคมีไฟฟ้ามิใช้ในการกระตุ้นให้สารประกอบบางชนิด ให้เปลี่ยนแปลงไปขั้นระดับพลังงาน กระตุ้นที่พร้อมจะถ่ายแสงเคมีลูมิเนสเซนต์ออกมามีอยู่ในสภาวะและตัวกลางที่เหมือน ซึ่งจะเรียกว่าการนี้ว่า อิเล็กโทรเคมีลูมิเนสเซนต์ (electrochemiluminescence /ECL) หรือเคมีลูมิเนสเซนต์เหนี่ยวนำด้วยไฟฟ้า (electrogenerated chemiluminescence) [21] ซึ่งเกิดจากปฏิกิริยาเคมีไฟฟ้า โดยทำให้เกิดการเปลี่ยนแปลงพลังงานภายในของสารผลิตภัณฑ์ ซึ่งเกิดจาก electron transfer ของสารตั้งต้นเกิดเป็นผลิตภัณฑ์ที่อื้อในสภาวะเร้า (excited state) ซึ่งเมื่อกลับคืนมาสู่สภาวะพื้น (ground state) ก็จะมีการเปล่งกลืนแสงออกมาน เช่น การเกิดอิเล็กโทรเคมีลูมิเนสเซนต์ของสารประกอบ Ruthenium ไบโพโรดิล ($\text{Ru}(\text{byp})_3^{2+}$) การเหนี่ยวนำให้เกิดการถ่ายแสงเคมีลูมิเนสเซนต์ด้วยปฏิกิริยาทางไฟฟ้าเคมีนี้ สามารถพัฒนาทำให้ลดการใช้สารเคมีให้น้อยลง เมื่อเปรียบเทียบกับเคมีลูมิเนสเซนต์แบบดั้งเดิมที่ต่ำกว่ามากจะทำโดยอาศัยวิเคราะห์ด้วยระบบการไหล (flow based techniques) นอกจากนี้การขยายสัญญาณแสงเคมีลูมิเนสเซนต์ จากการสืบค้นงานวิจัยในรอบระยะเวลาหลายปีที่ผ่านมา สามารถใช้ปัจจัยหลักอย่างช่วยในการเหนี่ยวนำในการปลดปล่อยแสงออกมายield ได้ เช่นการใช้สารลดแรงตึงผิว (surface active agent) สารประกอบที่เรืองแสงได้ (fluorophore) หรืออนุภาคกึ่งตัวนำ nano ควอนตัมคอท (quantum dots) ซึ่งได้ช่วยให้การวิเคราะห์ทดสอบทำได้อย่างมีประสิทธิภาพ รวดเร็ว และมีสภาพไวของการวิเคราะห์มากยิ่งขึ้นทำให้สามารถวิเคราะห์สารต่างๆ ได้ที่ระดับความเข้มข้นต่ำๆ ได้

โดยล่าสุดไม่กี่ปีที่ผ่านมา มีรายงานการนำอนุภาคนาโนควอนตัมคอท เช่น แอดเมียมเทอลูไลด์ หรือแอดเมียมซิลิโอน์ หรือแอดเมียมชัลไฟด์ มาใช้ในการเหนี่ยวนำหรือเป็นตัวถ่ายทอดพลังงานจากการถ่ายแสงจากปฏิกิริยาเคมีลูมิเนสเซนต์ที่เหนี่ยวนำด้วยไฟฟ้า ดังตัวอย่างการรายงานการวิเคราะห์ Catechol ของ Liu และคณะ (2007) ได้ใช้วิธีแอนโอดิกอิเล็กโทรเคมีลูมิเนสเซนต์ ของอนุภาคนาโนควอนตัมคอทที่ปรับปรุงสภาพด้วยเมอแคนโต โพธิ์พิโอนิกแอซิด มาอุดชิ่ดช์บันผิวน้ำของข้าวไฟฟ้าอินเดียมทินออกไซด์อิเล็กโทรด พบร่วมกับสารเคมีตัวชี้ Catechol ทำให้สามารถตรวจวัด Catechol ได้ในช่วงความเข้มข้น 50 นาโนโมลาร์-5 ไมโครโมลาร์ ได้

งานวิจัยของ Wang และคณะ (2012) ได้นำอนุภาควาณตัมคอทของ CdTe/CdS core_{small}/shell _{thick} มาใช้เป็นเซนเซอร์ในการขยายสัญญาณแสงเคมีลูมิเนสเซนต์ในช่วงอินฟราเรดระยะไกล เพื่อการวิเคราะห์แอนติบอดี IgG ในชั้นเริ่มเลือดมนุษย์ พบร่วมกับชิลิกานาโนสเฟียร์และอนุภาคนาโน-กราฟีนชีท ระดับ fg mL^{-1} โดยใช้งานร่วมกับชิลิกานาโนสเฟียร์และอนุภาคนาโน-กราฟีนชีท

ซึ่งจากการวิจัยในเบื้องต้น คณะผู้วิจัยได้พบว่าสารประกอบกลุ่มนี้ในโตรฟิวรานบางชนิด เช่นฟิวรัลทาโอดิน ฟูราโซลิดอน ในโตรฟูราโอน ที่พบว่าถูกใช้เป็นสารต้านจุลชีพและตรวจพบการปนเปื้อนในอาหารสัตว์ พลิตกัณฑ์จากผึ้ง เผื่อนนมผึ้ง เกษรดอกไม้จากผึ้ง และน้ำผึ้ง ในเขตภาคเหนือ นั้นสามารถเกิดปฏิกิริยากับสารประกอบรูธีเนียมใบไพริดิล ในฟอสเฟตบัฟเฟอร์ pH 7.8 และสามารถถูกตรวจจับได้ด้วยเทคนิคเคมิอิเลคโทรเคมิลูมิเนสเซนต์ บนข้าไฟฟ้าพิมพ์สกรีน การ์บอน โดยมีแนวโน้มที่จะพัฒนาเพื่อการตรวจจับในระดับการปนเปื้อนที่ความเข้มข้นต่ำๆ ได้ถึงระดับไมโครโมลาร์ หากนำวิธีการตรวจจับแบบอิเลคโทรเคมิลูมิเนสเซนต์ที่ก่อความชำรุด มาพัฒนาและประยุกต์ร่วมกับวิธีในไมโครฟลูอิดิกส์ ซึ่งเป็นวิธีที่ใช้สารเคมีน้อยราคาไม่สูงและใช้เวลาวิเคราะห์ที่สั้น เพื่อใช้ในการติดตาม ตรวจสอบ วิเคราะห์หาปริมาณของสารตกค้างบางอย่างที่เป็นปัจจัยในการเกย์ตรในปัจจุบัน ซึ่งเป็นปัจจัยของการส่องออกพลิตกัณฑ์ทางการเกย์ตร และการกัดกันสินค้าทางการเกย์ตรจากกลุ่มสหภพยูโรปและญี่ปุ่น คาดว่าจะช่วยทำให้เกิดผลดีต่อเกย์ตรกร และผู้บริโภคเป็นอย่างมาก เนื่องจากสามารถวิเคราะห์หาปริมาณสารเคมีที่ตกค้างได้ในระดับความเข้มข้นต่ำๆ ประหยัดทั้งเวลาและค่าใช้จ่ายที่ใช้ในการวิเคราะห์ รวมถึงให้การวิเคราะห์มีความรวดเร็ว สามารถวิเคราะห์ได้หลาย ๆ ตัวอย่าง ในเวลาเพียงอันสั้น ซึ่งอาจนำไปสู่การสร้างเครื่องมือตรวจจับภาคสนาม ที่มีความเหมาะสมสำหรับใช้ในการตรวจวิเคราะห์พลิตกัณฑ์ทางการเกย์ตรที่รองการส่องออกได้เป็นอย่างดี

ดังนั้นในงานวิจัยครั้งนี้ จะทำการพัฒนาออกแบบระบบการวิเคราะห์และสร้างระบบ ปฏิบัติการขนาดจิ๋วที่มีราคาถูกที่สามารถใช้แล้วทิ้งได้ Fiorini และคณะ (2005) จากการใช้วัสดุราคาถูก เช่น ไมโครฟลูอิดิกส์แบบกระดาษ โดยใช้การพิมพ์แบบอิงค์เจ็ต ร่วมกับการใช้งานข้าไฟฟ้าแบบพิมพ์สกรีน ร่วมกับเทคนิคเคมิอิเลคโทรเคมิลูมิเนสเซนต์ เนื่องจากการตรวจจับความเข้มของแสงที่ปลดปล่อยของมาจากปฏิกิริยาทางเคมี หรือการเหนี่ยวนำด้วยปฏิกิริยาทางไฟฟ้าเคมี สามารถทำได้โดยอาศัยเครื่องมือหรือวิธีการง่ายๆ ไม่ซับซ้อน โดยใช้เพียงหลอดวัดแสง (photomultiplier tube, PMT) และเครื่องจ่ายไฟฟ้าคงที่ (potentiostat) เท่านั้น เพราะว่าແหล่งกำเนิดแสงจะอยู่ในสารเคมีที่ใช้ในการทำปฏิกิริยาอยู่แล้ว จึงไม่จำเป็นที่จะต้องใช้เครื่องแยกแสงความยาวคลื่นเดียว เพื่อนำแยกความแตกต่างของช่วงความยาวคลื่นอีก และจะเพิ่มขีดความสามารถในการเกิดไฟโอลูมิเนสเซนต์ด้วยอนุภาคนาโนควอนตัมด็อต (quantum dots) Chen และคณะ (2013) บางชนิดที่มีรายงานว่าสามารถเพิ่มความเข้มของแสงเคมิลูมิเนสเซนต์ได้ โดยระบบการตรวจจับจะอาศัยเครื่องมือง่ายๆ เพื่อลดความยุ่งยาก และขั้นตอนของการวิเคราะห์ลงให้น้อยที่สุด สามารถพัฒนาต่อยอดสำหรับใช้เป็นอุปกรณ์ต้นแบบสำหรับงานภาคสนามได้

โดยคณะผู้วิจัยจะทำการพัฒนาวิธีวิเคราะห์แบบใหม่ที่สามารถเพิ่มเพื่อประสิทธิภาพในการตรวจวิเคราะห์สารปนเปื้อนกลุ่มยาด้านการจุลชีพ โดยมุ่งเน้นไปยังสารเคมีในกลุ่มเดตราซัคคลิน (tetracycline) ในไตรฟิวราณ (nitrofurans) คลอเรมเฟนิคลอ (chloramphenical) หรือสารเคมีบางชนิดที่ถูกเติมลงไปเพื่อรักษาผลิตภัณฑ์ทางการเกษตรกลุ่มสารที่ใช้ในการถนนอาหาร เช่นชัลไฟต์ ในไตรท์ กรดอะนิทรีฟันิดต่างๆ ให้สามารถทำการตรวจวัดได้แม้มีการปนเปื้อนอยู่ในระดับต่ำๆ เพื่อให้สามารถวิเคราะห์ได้ภายในขอบเขตของค่ามาตรฐานของสำนักงานอาหารและยาหรือองค์กรอนามัยโลก หรือข้อจำกัดในการส่งออกและนำเข้าของสหภาพยุโรป ซึ่งคาดว่าจะสามารถช่วยเกษตรกรผู้ผลิต ผู้ส่งออก หรือหน่วยงานรับวิเคราะห์ทดสอบ นำไปใช้ในการตรวจยืนยันถึงการปนเปื้อนในผลิตภัณฑ์อาหาร หรือเพื่อนำไปใช้เป็นเครื่องมือทางเลือกสำหรับตรวจสอบเบื้องต้น ในการติดตามตรวจสอบการปนเปื้อนของตัวยาบางชนิดเหล่านี้ในอาหารหรือผลผลิตแปรรูปทางการเกษตรที่มีจำนวนอยู่ในท้องตลาด ทดสอบเครื่องมือวิเคราะห์ราคาแพง แต่ยังคงมีประสิทธิภาพในการวิเคราะห์สูง สามารถวิเคราะห์ตัวอย่างได้อย่างรวดเร็ว แม่นยำและต่อเนื่อง เป็นมิตรต่อสิ่งแวดล้อม เนื่องจากจะใช้ปริมาณสารตัวอย่างและรีเอเจนต์ในปริมาณน้อย แล้ว ยังมีราคาถูก สามารถใช้แล้วทิ้งได้ ซึ่งช่วยประหยัดเวลา และค่าใช้จ่ายในการวิเคราะห์ทดสอบตัวอย่างในปริมาณมากๆ ได้

อุปกรณ์และวิธีการวิจัย

งานวิจัยนี้เพื่อออกแบบและสร้าง เครื่องมือ สำหรับใช้การตรวจวิเคราะห์สารต้านจุลชีพบางชนิด ด้วยเทคนิคระบบปฏิบัติการขนาดจิ๋ว (mesofluidics) จากวัสดุรากากสามารถใช้ได้ทั้ง ได้โดยใช้กระดาษ และพัฒนา ตัวตรวจวัดที่มีสภาพไว้สูงชนิดอิเล็ก trode ความเร็วสูงในสเซนเซอร์ มินสเซนเซอร์ (electrochemiluminescence) ร่วมกับการใช้ออนุภาค nano ควบคุมด้วย (quantum dots) ที่ช่วยให้ข้าวนา หรือข้าวสาลีสามารถทำให้เกิดปฏิกิริยาเคมีแสงเมืองมินสเซนเซอร์ เพื่อใช้ตรวจวิเคราะห์สารปันเปื้อนสารต้านจุลชีพบางชนิดในอาหาร หรือผลิตภัณฑ์ทางการเกษตร โดยสารเคมี และวัสดุอุปกรณ์ที่ใช้ในการทดลองครั้งนี้ แสดงในตารางที่ 1 และ 2

สารเคมี

ตารางที่ 1 สารเคมีที่ใช้ในงานวิจัย

ชื่อสารเคมี	เกรด/ ความบริสุทธิ์	บริษัทผู้ผลิต	ประเทศ
1. Alkenyl ketene dimer	commercial	YanCui	China
2. 2,2' bipyridyl ($C_{10}H_8N_2$)	AR	Sigma-Aldrich	USA
3. Cadmium chloride ($CdCl_2$)	HPLC	Sigma-Aldrich	USA
4. L-cysteine ($C_3H_7NO_2S$)	AR	Fisher	UK
5. Furaltadone ($C_{13}H_{16}N_4O_6$)	HPLC	Sigma-Aldrich	USA
6. Furazolidone ($C_8H_7N_3O_5$)	HPLC	Sigma-Aldrich	USA
7. 3-mercaptopropionic acid (MPA) ($C_3H_6O_2S$)	AR	Sigma-Aldrich	USA
8. Nitrofurantoin ($C_8H_6N_4O_5$)	HPLC	Sigma-Aldrich	USA
9. Phosphinic acid (H_3PO_4)	AR	Sigma-Aldrich	USA
10. Ruthenium (III) chloride ($RuCl_3$)	AR	Fluka	UK
11. Sodium borohydride ($NaBH_4$)	AR	Sigma-Aldrich	USA
12. Sodium phosphate dibasic (Na_2HPO_4)	AR	CARLO ERBA	Italy
13. Tellurium powder	AR	Fluka	UK

เครื่องมือและอุปกรณ์

ตารางที่ 2 เครื่องมือและอุปกรณ์ที่ใช้ในการวิจัย

เครื่องมือและอุปกรณ์	บริษัทผู้ผลิตและรุ่น	ประเทศ
1. เครื่องโพเทนชิโอลัตเตฟ	Metrohm รุ่น Autolab PGSTAT101	Switzerland
2. เครื่องชั่งชนิด 4 ตำแหน่ง (Analytical balance)	Mettler Toledo รุ่น AB304-S	Switzerland
3. Carbon screen-printed electrode	Dropsens	Spain
4. Digital multimeter	UT60F	Hong Kong
5. Photomultiplier tubes	Thorn-EMI 9828SB	UK
6. Inkjet Printer	Cannon, Pixma iP2770	Thailand
7. Quartz cuvette	Hellma	Germany
8. Voltage power supply	Thorn-EMI 9828SB	UK

วิธีการวิจัย

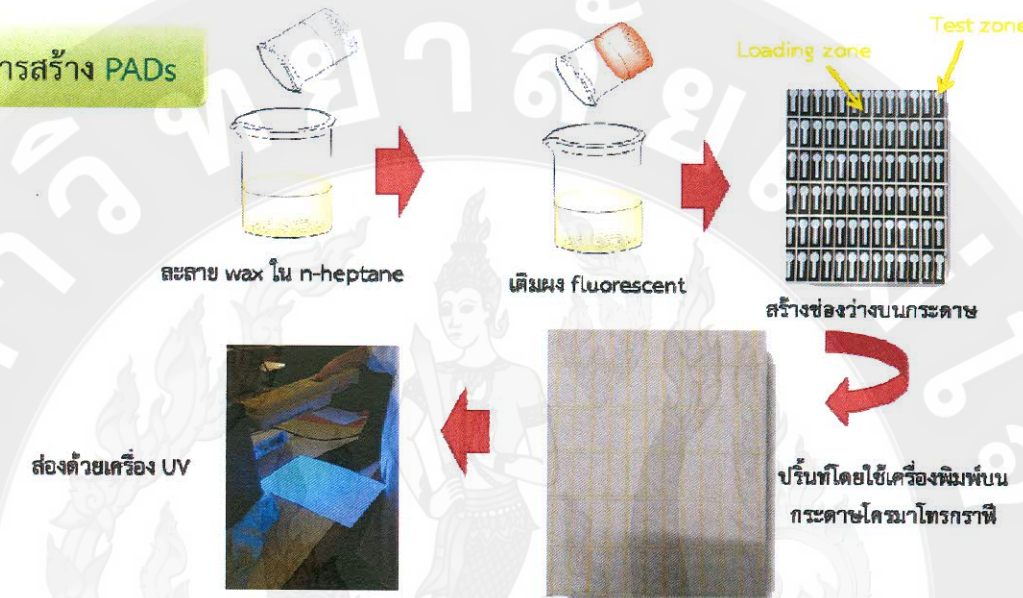
การออกแบบและสร้างระบบปฏิบัติการขนาดจิ๋ว (mesofluidics) จากวัสดุราคากลูกสามารถใช้แล้วทิ้ง ได้โดยเช่นกระดาษ สำหรับใช้งานเป็นเครื่องมือวิเคราะห์ที่มีสภาพไวสูง มีราคาถูก ซึ่งจะประกอบไปด้วยกระบวนการต่างๆ ที่สำคัญดังนี้

1. ศึกษาค้นคว้าและรวบรวมเอกสารที่เกี่ยวข้องเพิ่มเติม รวมทั้งสำรวจการใช้และการปนเปื้อนของยาปฏิชีวนะ สารต้านจุลชีพต่างๆ ที่พบการปนเปื้อนสูงในผลิตภัณฑ์อาหาร ที่ตรวจเก็บในเขตภาคเหนือตอนบน (เน้นเขตจังหวัดเชียงใหม่ และลำพูน)

2. ออกแบบ และศึกษาดัดแปลงเครื่องมือ เครื่องพิมพ์เลเซอร์ที่มีอยู่ เพื่อพัฒนาเป็นระบบปฏิบัติการขนาดจิ๋ว (mesofluidics) ที่ใช้ข้าวไฟฟ้าพิมพ์สกรีนบนอุปกรณ์ตรวจวัดมีโซฟลูอิດ กส์ชนิดกระดาษเข้ามาช่วยในการวิเคราะห์ และเพื่อลดการใช้ปริมาณสารเรืองแสงที่ให้น้อยลง แต่สามารถวิเคราะห์ได้อย่างมีประสิทธิภาพ

2.1 การประดิษฐ์อุปกรณ์มีโซฟลูอิดิกส์แบบใช้แล้วทิ้งด้วยกระดาษ

ทำได้โดยการเตรียมสารละลายแก๊ซ จากสารละลาย Alkenyl Ketene dimer (AKD) 5 % w/v ด้วยสารละลายเชปเทน โดย เติม Fluorescent 0.1g ที่ละลายในไอโซโพรพานอล ปริมาตร 2 มิลลิลิตร ลงไปใน AKD 5 % w/v ปรับปริมาตรเป็น 50 ml



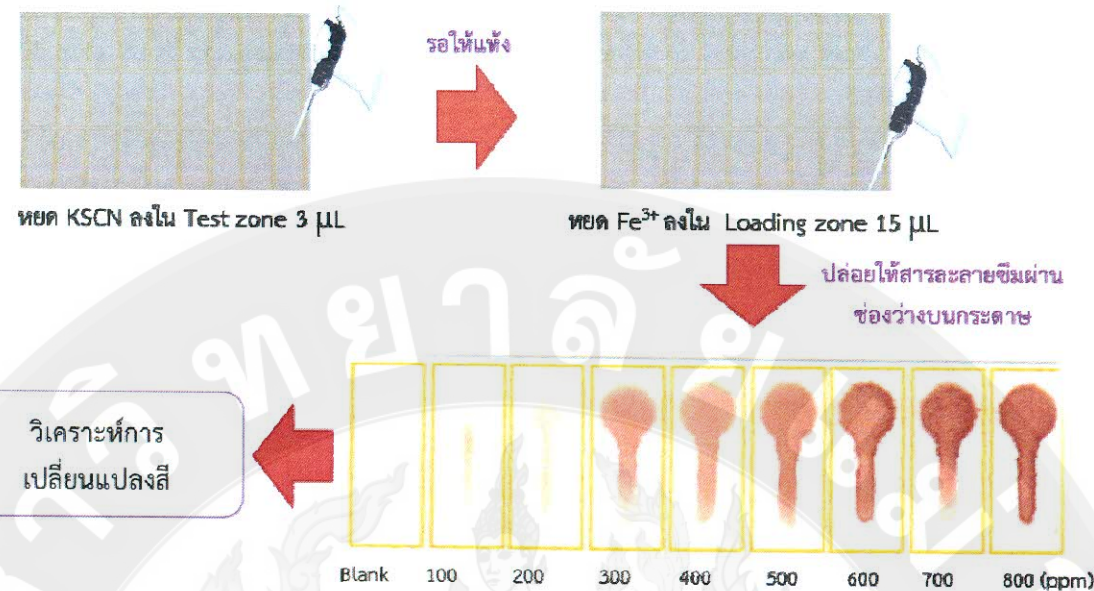
รูปที่ 5 การออกแบบใช้งาน meso-fluidics channel สำหรับวิเคราะห์

2.2 การทดสอบอุปกรณ์มีโซฟลูอิดิกส์แบบใช้แล้วทิ้งด้วยกระดาษเบื้องต้น

โดยนำอุปกรณ์มีโซฟลูอิดิกส์ที่ประดิษฐ์ขึ้น ไปทดลองใช้วิเคราะห์ทดสอบหาปริมาณเหล็กโดยวิธีสเปกโโทรสโคปี โดยใช้สารละลายปีเพทสเซี่ยมไนโตรไซยาเนต ทำปฏิกิริยากับไอออนเหล็ก ตามปฏิกิริยาด้านล่าง



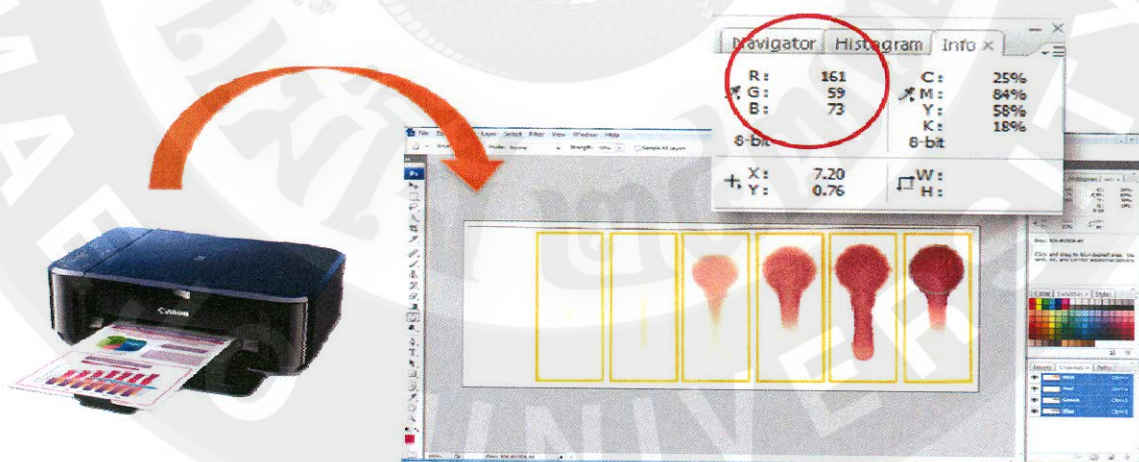
เมื่อเกิดปฏิกิริยาขึ้นจะได้สารประกอบเชิงช้อนสีแดง ขึ้นบนอุปกรณ์มีโซฟลูอิดิกส์แบบกระดาษตามความถูกต้องที่ได้ออกแบบไว้



รูปที่ 6 การทดสอบอุปกรณ์มีโซฟลูอิดิกส์แบบกระดาษสำหรับวิเคราะห์เหล็ก

2.3 วิธีวิเคราะห์การเปลี่ยนแปลงของสี โดยใช้ RGB model จากโปรแกรม Photoshop

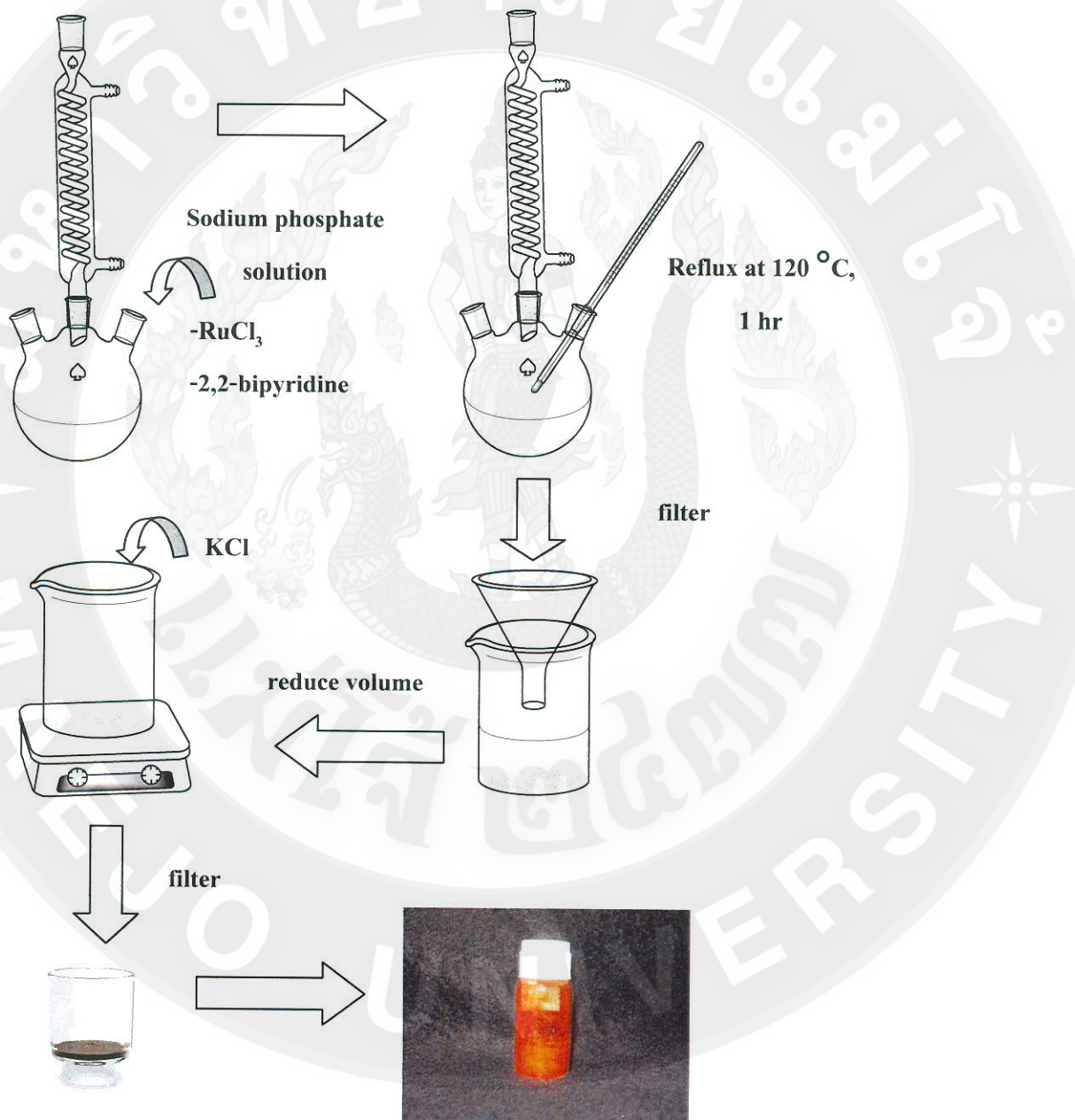
การตรวจหาโดยการเทียบสี (colorimetric detection) โดยอาศัยการเปลี่ยนแปลงของสีของสารจากปฏิกิริยาทางเคมี ซึ่งสามารถสังเกตการเปลี่ยนสีได้ด้วยตาเปล่า หรือใช้เครื่องสแกนเนอร์ ตรวจหาความเข้มของสีในแผ่นมีโซฟลูอิดิกส์ ด้วยโปรแกรมโฟโตชอป



รูปที่ 7 การตรวจหาความเข้มของสีในแผ่นมีโซฟลูอิดิกส์ ด้วยโปรแกรมโฟโตชอป

3. ศึกษาปฏิกิริยาเคมีของสารปนเปื้อนบางชนิดที่ปนเปื้อนในอาหาร ในกลุ่มไนโตรฟิวเรนกับสารเคมีที่มักเกิดการเรืองแสงด้วยปฏิกิริยาเคมี tris(2,2'-bipyridyl)ruthenium(III), ด้วยวิธีเคมิคูมิเนสเซนต์ ร่วมกับเทคนิคไซคอลิกไวแท็มเมตري

ส่วนการสังเคราะห์ Tris(2, 2'-bipyridyl)ruthenium (II) หรือ $(\text{Ru}(\text{bpy})_3)^{2+}$ ได้ทำการทดลองโดยอาศัยวิธีของ Broomhead และ คณะ (2007) โดยมีแผนผังการทดลองดังรูปที่ 8



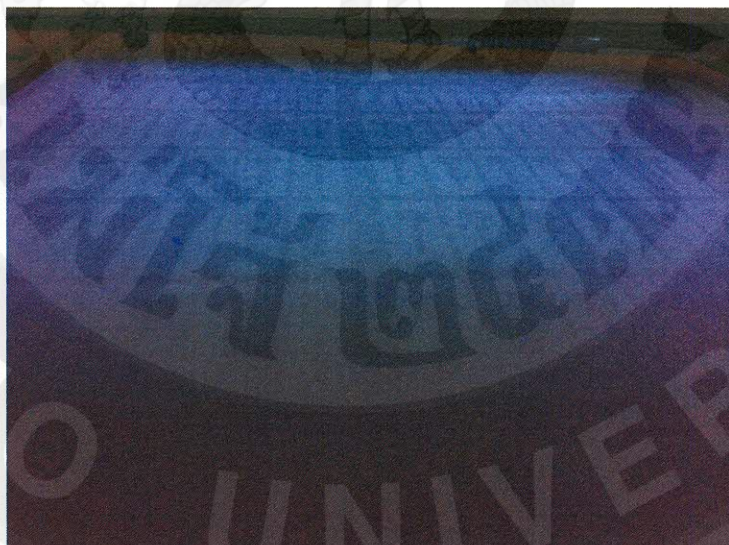
รูปที่ 8 แผนผังการสังเคราะห์สารประกอบ tris(2, 2'-bipyridyl)ruthenium (II) $(\text{Ru}(\text{bpy})_3^{2+})$.

4. ทดลองเพิ่มสภาพไวของปฏิกิริยา โดยศึกษาหาสภาวะที่เหมาะสมของระบบ โดยศึกษาตัวแปรทางกายภาพ และตัวแปรทางเคมีอื่นๆ เช่นอนุภาชนะในความตันดอท
5. ศึกษาผลของ interferences ที่อาจกระทบต่อการวิเคราะห์ พร้อมทั้งวิธีหลีกเลี่ยง และวิธีการจำกัดสารรบกวนต่างๆ
6. ศึกษาคุณลักษณะของการวิเคราะห์ เช่นความแม่นยำ ความเที่ยงตรง ขีดจำกัด ต่ำสุดของการตรวจด้อตรารีวของ การวิเคราะห์ และเปรียบเทียบผลการวิเคราะห์กับวิธีมาตรฐาน ขององค์กรด้านอาหาร เช่น AOAC เป็นต้น
7. นำวิธีที่พัฒนาขึ้นมาประยุกต์กับการวิเคราะห์ตัวอย่างอาหารหรือผลิตผลทางการเกษตรที่ใช้เป็นตัวอย่างจริงในการเปรียบเทียบความเที่ยงตรงในการวิเคราะห์
8. เพื่อสรุปผล วิจารณ์ และเขียนรายงาน

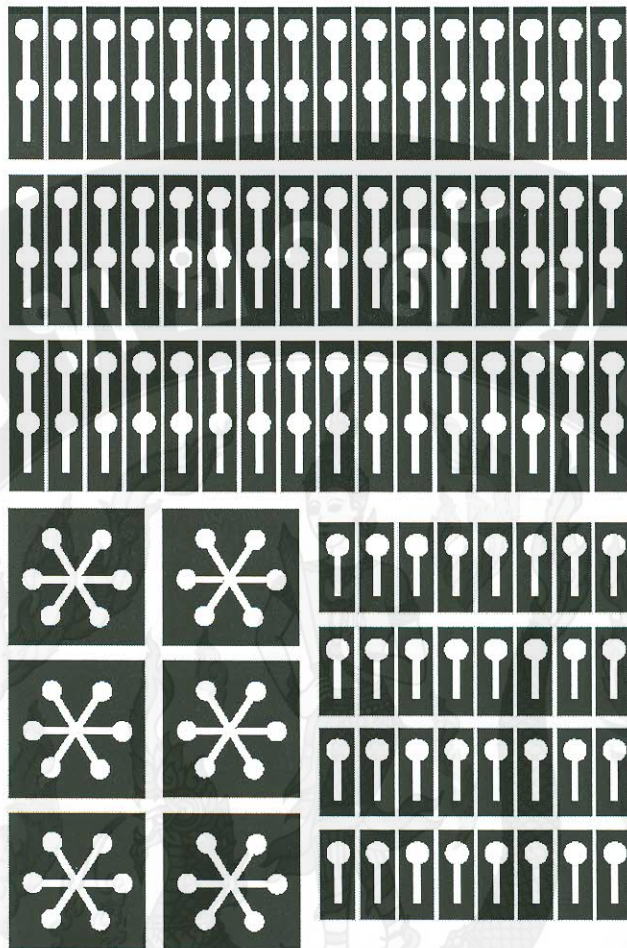
ผลการวิจัยและวิจารณ์ผลการวิจัย

1. การพิมพ์และการออกแบบลวดลายบนอุปกรณ์ตรวจวัดแบบกระดาษ

การพิมพ์และการออกแบบลวดลายบนอุปกรณ์ตรวจวัดแบบกระดาษที่ได้พัฒนาขึ้นใช้ในงานวิจัยนี้ สร้างขึ้นจากกระดาษ เกรด 4 ที่มีความหนา 0.205 มิลลิเมตร ยี่ห้อ Whatman โดยใช้เครื่องพิมพ์อิงค์เจ็ต ยี่ห้อ Cannon™ ip2700 โดยใช้สารละลาย Alkenyl Ketene Dimer (AKD) เข้มข้น 5% w/v ที่ใช้ในอุสาหกรรมการพิมพ์ทั่วไป มาแทนที่หมึกพิมพ์ของเครื่องพิมพ์อิงค์เจ็ตปกติ โดยได้ออกแบบลวดลายซึ่งอาศัยแนวคิดในการทำวิจัยจากงานวิจัยของ Jayawardanea และคณะ [2012] โดยในขั้นตอนการทำอุปกรณ์มีโซฟต์แวร์ชื่อ "Inkjet Printer Driver" ให้ทำการออกแบบลือกในการทำแผ่นสกรีน ใช้โปรแกรม Microsoft Word แล้วบันทึกเป็นนามสกุล PDF เพื่อป้องกันการคลาดเคลื่อน มีรูปแบบของลวดลายต่างๆ ดังแสดงในรูปที่ 9 โดยใช้เครื่องปรินต์แบบ Inkjet printer (Canon Pixma ip2770) ที่มีจำหน่ายทั่วไปในห้องทดลอง ใช้สารละลาย AKD เข้มข้น 5 % w/v แทนนำหมึกในตลับปรินเตอร์ โดยนำกระดาษโครโนโทกราฟี ที่มีขนาด A4 แทนกระดาษทั่วไป หลังจากปรินต์เสร็จ นำกระดาษไปฉายด้วยแสง UV (คลื่นยาว) เพื่อตรวจสอบความเรียบร้อยของลายปรินต์ ดังรูปที่ 10 แล้วนำไปอบที่อุณหภูมิ 100 °C เป็นเวลา 1 นาที เพื่อให้ AKD ซึมลงในกระดาษโครโนโทกราฟี ก็จะเป็นลวดลายตามที่ได้ออกแบบไว้



รูปที่ 9 ลวดลายแผ่นสกรีนบนกระดาษโครโนโทกราฟี ภายใต้แสงอัลตราไวโอเลตที่ความยาวคลื่น 366 นาโนเมตร



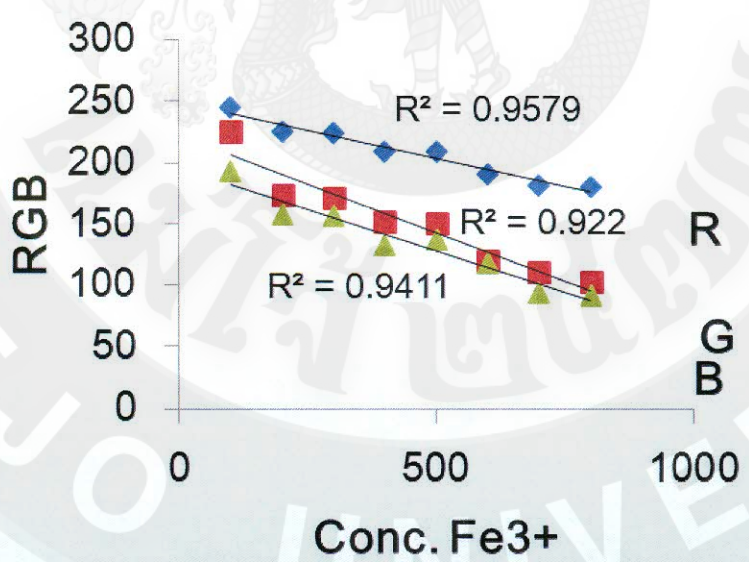
รูปที่ 10 การออกแบบลายแผ่นสกรีน

1.1 การทดสอบประสิทธิภาพเบื้องต้นของอุปกรณ์มีโซฟลูอดิกส์แบบกระดาษที่ประดิษฐ์ขึ้น

โดยในเบื้องต้นนี้ได้นำอุปกรณ์มีโซฟลูอดิกส์ที่ประดิษฐ์ขึ้น ไปใช้วิเคราะห์ทดสอบหาปริมาณเหล็กโดยวิธีสเปกโโทรสโคปี โดยใช้สารละลายโปแทสเซียมไนโตรไซแนต เพื่อหาความเป็นไปได้ในการทำไปใช้งาน และทดสอบประสิทธิภาพของอุปกรณ์ตรวจวัดแบบกระดาษที่พัฒนาขึ้น โดยใช้สารละลายโปแทสเซียมไนโตรไซแนตที่มีความเข้มข้นระหว่าง 0.1 – 2.0 มิลลิกรัม 20 ไมโครลิตร ทดสอบกับสารละลายเหล็ก (Fe^{3+}) เข้มข้น 100, 200, 300, 400, 500, 600, 700 และ 800 มิลลิกรัมต่อลิตร พบร่วมกับผลดังรูปที่ 11



รูปที่ 11 รูปภาพแสดงการเกิดสีบนแผ่นอุปกรณ์มีโซฟลูอิดิกส์แบบกระดาษที่ใช้ในการทดสอบปริมาณไอออนเหล็กด้วยไนโตรไซยาเนต



รูปที่ 12 กราฟความสัมพันธ์ระหว่างค่าการเปลี่ยนแปลงสี (RGB) กับความเข้มข้นของ Fe³⁺

การตรวจหาโดยการเทียบสี (colorimetric detection) อาศัยการเปลี่ยนแปลงของสีของสารจากปฏิกิริยาทางเคมี ซึ่งสามารถสังเกตการเปลี่ยนสีได้ด้วยตาเปล่า หรือใช้เครื่องสแกนเนอร์ในการตรวจหาแม่สี แดง เขียว และน้ำเงิน (RGB) เพื่อสร้างกราฟมาตรฐาน ดังผลการทดลองที่แสดงในรูปที่ 12

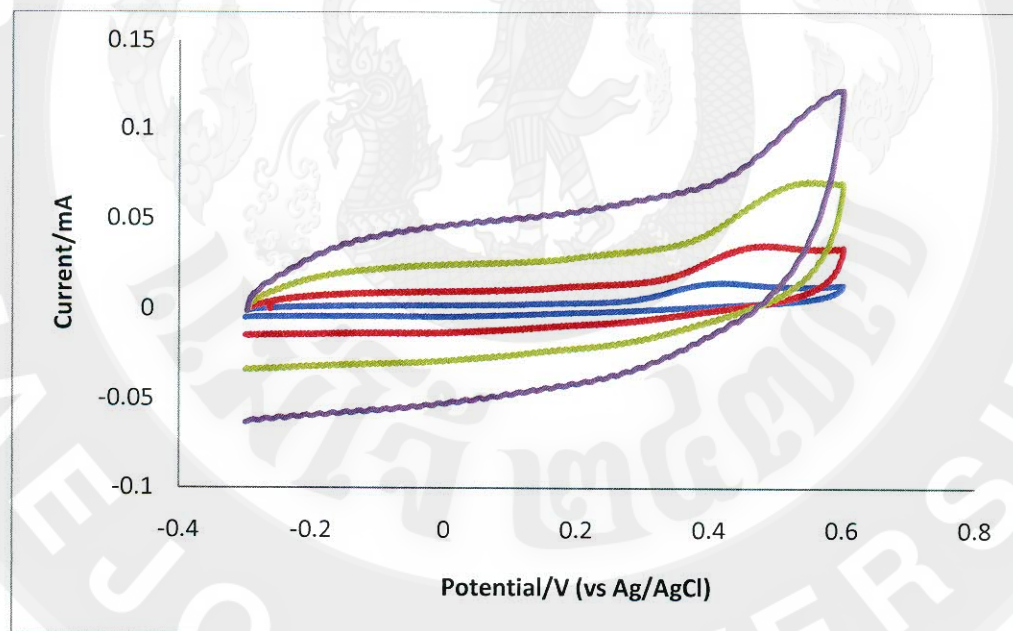
โดยจากการศึกษาเบื้องต้นนี้พบว่าสามารถผลิตอุปกรณ์ตรวจวัดแบบกระดาษได้จากวัสดุอุปกรณ์ หัวไปที่มีอยู่ในห้องปฏิบัติการเคมี ทำให้ได้ชุดอุปกรณ์วิเคราะห์ราคาถูกแบบใช้แล้วทิ้งที่สามารถนำไปใช้งานจริงในภาคสนาม ได้

ซึ่งขั้นตอนต่อไปจะเป็นการศึกษาแนวทางในการนำเอาเทคนิคการตรวจวัดการเรืองแสงจากการเหนี่ยวนำด้วยไฟฟ้ามาใช้เพื่อการตรวจวัดสารต้านจุลชีพที่เป็นปีก่อนในอาหาร และมีอยู่ในปริมาณน้อยๆ ได้อย่างจำเพาะ

2. การศึกษาปฎิกริยาเคมีลูมิเนสเซนต์ของสารต้านจุลชีพกลุ่มไนโตรฟิวранด้วยวิธีอิเลคโทรเคมีลูมิเนสเซนต์บนขั้วไฟฟ้าพิมพ์สกรีน

2.1 การศึกษาไซคลิกโวແກມເມຕີຮູ້ຂອງສາຣປະກອນ tris (2,2'-bipyridyl) ruthenium(III)

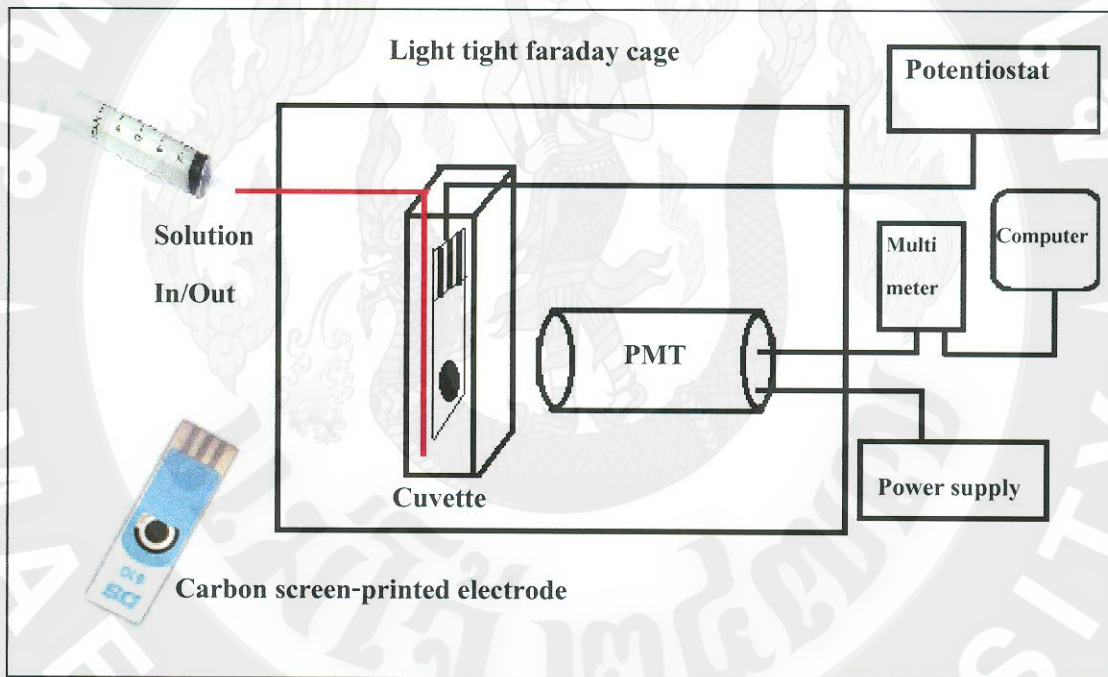
ในงานวิจัยนี้ได้เลือกใช้สาร tris(2,2'-bipyridyl)ruthenium(III) , $(\text{Ru}(\text{bpy})_3)^{3+}$ ที่มีความเข้มข้น 5 mM ในสารละลายน้ำเป็นสารตัวต้านในการเหนี่ยวนำให้เกิดปฏิกิริยาเคมีคลุ่มในสารละลายน้ำด้วยไฟฟ้าโดยทำการจุ่มชิ้นไฟฟ้าพิมพ์สกรีนอุปกรณ์ตรวจวัดลงในสารละลายน้ำที่บรรจุในคิวเวทท์ แล้วนำไปทดสอบด้วยวิธีไซคลิกโวเทมเมตรี(CV) โดยใช้อัตราการสแกนในช่วง 0.05 V s^{-1} to 1.0 V s^{-1} ได้ผลตังแต่งในรูปที่ 13 จากผลการทดลองที่ได้พบว่าสัดส่วนของพีค cathodic และ anodic มีความใกล้เคียงกัน และคงที่ปฏิกิริยาดังกล่าวเป็นแบบ reversible และเมื่อเพิ่ม อัตราการสแกนขึ้น จะทำให้ได้ค่าความสูงของพีค (ΔE_p) เพิ่มขึ้น จึงทำให้สาร $(\text{Ru}(\text{bpy})_3)^{3+}$ ที่เป็นสาร redox สามารถเกิดการแพร่ และเกิดปฏิกิริยาทางไฟฟ้าเคมีได้ไวขึ้นนั่นเอง



รูปที่ 13 ไซคลิกโวเทน โนมแกรนของสารประกอบ tris (2,2'-bipyridyl) ruthenium(III) เข้มข้น 5 mM ในสารละลายฟอสเฟตบัฟเฟอร์ เข้มข้น 0.1M pH เท่ากับ 7 ที่อัตราการสแกนเท่ากับ 0.05, 0.2, 0.5, และ 1.0 V s⁻¹

2.2 การตรวจสารกลุ่มในไตรฟูราน ด้วยเทคนิค{o}เลคโทรเคมิลูมิเนสเซนต์

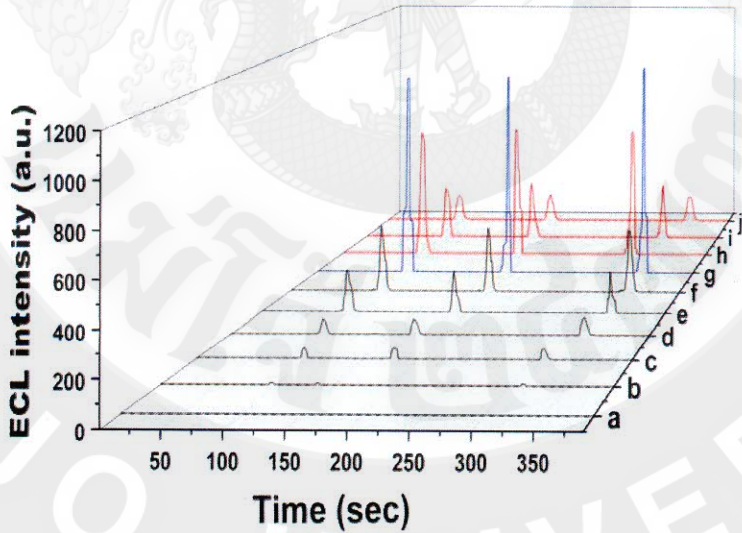
ในการศึกษาทดสอบเบื้องต้นของสารกลุ่มในไตรฟูราน ด้วยเทคนิค{o}เลคโทรเคมิลูมิเนสเซนต์ ได้ทดลองโดยใช้กระบวนการและอุปกรณ์ในการตรวจวัดดังแสดงในรูปที่ 14 ซึ่งกระบวนการตรวจนิมิตขั้นตอนดังต่อไปนี้ เดิมสารละลายน้ำที่มีข้าวไฟฟ้าพิมพ์สกรีนชนิดคาร์บอน (SPE) อยู่หลังจากนั้นให้ศักย์ไฟฟ้าผ่านข้าวไฟฟ้า SPE ตั้งกล่าว ด้วยเทคนิคไซคลิกโวเทมเมตรี ลงไปในสารละลายน้ำที่ Ru(bpy)₃²⁺ และสารกลุ่มในไตรฟูราน จะเกิดปฏิกิริยา{o}เลคโทรเคมิลูมิเนสเซนต์ พร้อมกับค่ายแสงมิลูมิเนสเซนต์ออกมำ ทำการตรวจแสงที่เกิดขึ้นด้วยหลอดขยายสัญญาณแสง (PMT) และแปลงสัญญาณแสงที่ได้เป็นความสูงของพีคสัญญาณ



รูปที่ 14 ชุดเครื่องมือสำหรับตรวจวัดสารกลุ่มในไตรฟูรานด้วยเทคนิค{o}เลคโทรเคมิลูมิเนสเซนต์

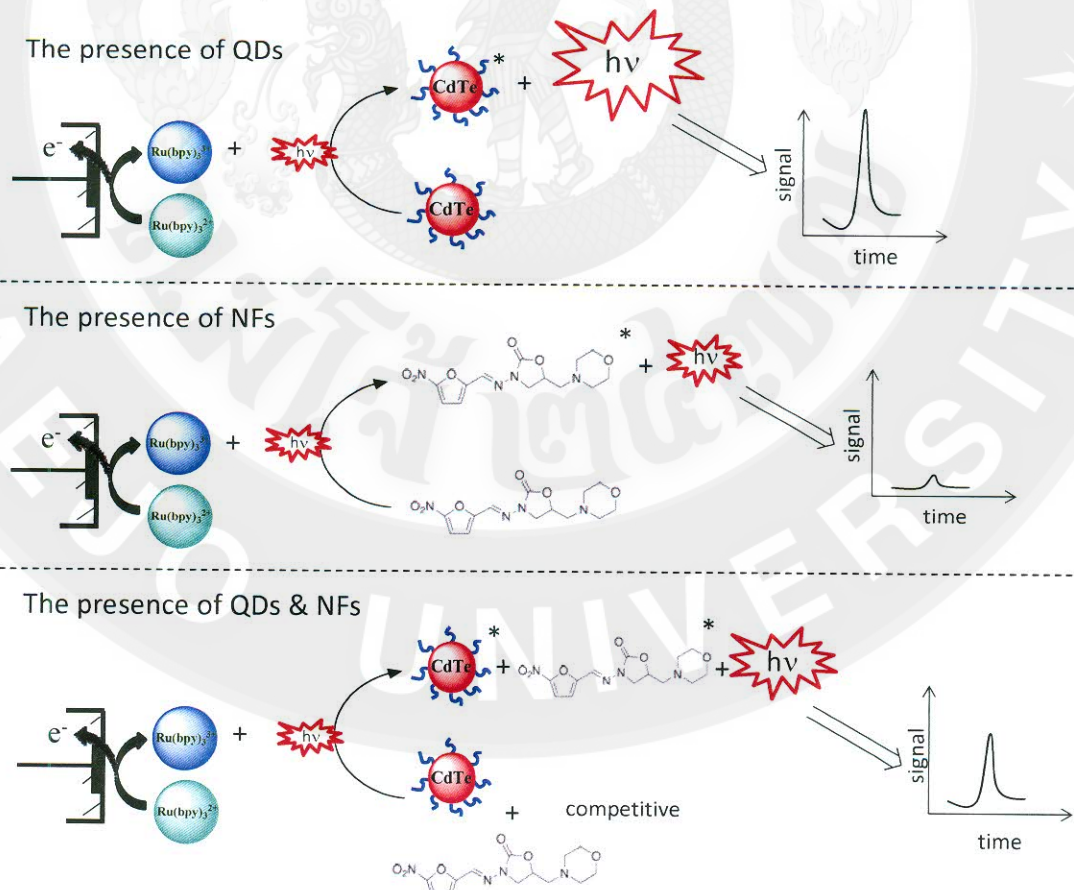
จากการทดลองที่ได้แสดงดังรูปที่ 15 เมื่อสารละลายน้ำที่มีตัวแทนของสารต้านจุลชีพกลุ่มในไตรฟูรานที่มีความเข้มข้นเท่ากับ 100 μM ที่ละลายในสารละลายน้ำสเปตบัฟเฟอร์ (PBS) เข้มข้น 0.1 M มาวัดค่าคายแสงเคมิลูมิเนสเซนต์ชนิดหนึ่งที่บันทึกโดยให้ศักย์ไฟฟ้าที่ใช้ในการตรวจวัดด้วยเทคนิคไซคลิกโวเทมเมตรีในช่วงตั้งแต่ 0.4-1.6 V และอัตราเร็วในการสแกนเท่ากับ 0.05 Vs^{-1} พบร่วมกับความสามารถวัดสัญญาณได้แสดงว่าสารกลุ่มในไตรฟูรานไม่เกิดปฏิกิริยา{o}เลคโทรเคมิลูมิเนสเซนต์ (a) ในขณะเดียวกันเมื่อทดสอบกับสารละลายน้ำที่มีตัวแทนของสารต้านจุลชีพกลุ่มในไตรฟูรานที่มีความเข้มข้นเท่ากับ 100 μM ที่ละลายในสารละลายน้ำสเปตบัฟเฟอร์ (PBS) เข้มข้น 0.1 M มาวัดค่าคายแสงเคมิลูมิเนสเซนต์ชนิดหนึ่งที่บันทึกโดยให้ศักย์ไฟฟ้าที่ใช้ในการตรวจวัดด้วยเทคนิคไซคลิกโวเทมเมตรีในช่วงตั้งแต่ 0.4-1.6 V และอัตราเร็วในการสแกนเท่ากับ 0.05 Vs^{-1} พบร่วมกับความสามารถวัดสัญญาณได้แสดงว่าสารกลุ่มในไตรฟูรานไม่เกิดปฏิกิริยา{o}เลคโทรเคมิลูมิเนสเซนต์ (b)

ความตั้งดอท (CdTe-QDs) ที่ห่อหุ้นด้วยซีสเตอีน ในสารละลายน้ำ PBS เข้มข้น 0.1 M ปรากฏว่า สามารถตรวจค่าสัญญาณการหายแสงเคมิลูมิเนสเซนต์ที่เกิดขึ้นได้ แต่มีค่าเพียงเล็กน้อย (b) และ เมื่อเปลี่ยนเป็นสารละลายน้ำ Ru(bpy)₃²⁺ ผสมกับสารละลายน้ำตรรูปหราลาโนนที่ความเข้มข้น 0, 500, 1000 และ 1500 μM พบว่าค่าสัญญาณที่ตรวจวัดได้ เพิ่มขึ้นตามระดับของความเข้มข้นของ สารละลายน้ำตรรูปหราลาโนนที่เติมลงไป (c-f) อาจเนื่องจากสารกลุ่มนี้ในตอร์ฟูรานเป็นตัวช่วย ทำให้ปฏิกิริยาอิเลคโทรเคมิลูมิเนสเซนต์ของ Ru(bpy)₃²⁺ เกิดได้ดีขึ้น แต่มีอิทธิพลจากสัญญาณที่ ตรวจวัดได้ ขึ้นไม่เพียงพอสำหรับใช้ในการวิเคราะห์สารกลุ่มดังกล่าวได้ ดังนั้นจึงเติมอนุภาค ความตั้งดอท CdTe-QDs ลงไปในระบบการตรวจวัด ผลการทดลองพบว่า ค่าสัญญาณที่ได้มีค่า เพิ่มสูงขึ้นเป็น 26 เท่า (c,g) เมื่อเทียบกับสัญญาณที่เกิดจากไม่มีการเติม CdTe-QDs ลงไป เป็น เพราะเมื่อ CdTe-QDs เกิดปฏิกิริยาอิเลคโทรเคมิลูมิเนสเซนต์ แสงลูมิเนสเซนต์ที่คายออกมามีช่วง ความยาวคลื่นตั้งแต่ 480-650 nm สอดคล้องกับงานวิจัยของ Li และคณะ [2010] และจะไปส่งเสริม แสงลูมิเนสเซนต์ของ Ru(bpy)₃²⁺ ซึ่งจะอยู่ในช่วงความยาวคลื่นเท่ากับ 560 nm ซึ่งสัมพันธ์กับ งานวิจัยของ Paris และ Brandt [1959]



รูปที่ 15 ค่าสัญญาณแสงจากปฏิกิริยาอิเลคโทรเคมิลูมิเนสเซนต์ (a) FTD concentration at 100 μM; (b) L-cysteine CdTe-QDs concentration at 1 mM; (c) 5 mM of Ru(bpy)₃²⁺; (d-f) 5 mM of Ru(bpy)₃²⁺ with 500, 1000 and 1500 μM FTD, respectively; (g) 5 mM of Ru(bpy)₃²⁺/L-cysteine CdTe-QDs without FTD; (h-j) 5 mM of Ru(bpy)₃²⁺/L-cysteine CdTe-QDs with 50, 100 and 200 μM of FTD, respectively.

ในขณะเดียวกันเมื่อในระบบการตรวจวัดที่มี $\text{Ru}(\text{bpy})_3^{2+}$ และ CdTe-QDs พร้อมกับมีการเติมสารละลายน้ำร้อนท้าโนนลงไป พบร่วมค่าสัญญาณแสงที่วัดได้มีค่าลดลง (h-j) และลดลงตามระดับความเข้มข้นของสารละลายน้ำร้อนท้าโนนที่เติมนลงไป ซึ่งอาจเกิดจากสารกลุ่มของไนโตรฟูรานเกิดกระบวนการยับยั้ง หรือแบ่งขันปฏิกิริยาของอิเลคโทรเคมิลูมิเนสเซนต์ของ CdTe-QDs/ $\text{Ru}(\text{bpy})_3^{2+}$ นั้นเอง จากผลการศึกษาเบื้องต้นที่ได้ สามารถอธิบายกลไกการเกิดปฏิกิริยาอิเลคโทรเคมิลูมิเนสเซนต์ของ CdTe-QDs/ $\text{Ru}(\text{bpy})_3^{2+}$ และสารกลุ่มไนโตรฟูรานดังแสดงในรูปที่ 15 เมื่อ $\text{Ru}(\text{bpy})_3^{2+}$ ถูกกระตุ้นด้วยศักย์ไฟฟ้าจะทำให้เกิดปฏิกิริยาอิเลคโทรเคมิลูมิเนสเซนต์พร้อมกับเกิดการชายแสลงลูมิเนสเซนต์ออกมา ซึ่งพลังงานแสงดังกล่าวจะไปกระตุ้นทำให้ CdTe-QDs ที่อยู่ระบบเกิดการชายแสลงเสริมออกมา และช่วยเดียวกันกับระบบที่มี $\text{Ru}(\text{bpy})_3^{2+}$ กับสารกลุ่มไนโตรฟูราน แต่ต่างกันตรงที่พลังงานแสงที่เกิดขึ้นมีค่าที่น้อยกว่า แต่เมื่อในระบบการตรวจวัดมีสารทั้ง 3 ชนิดอยู่ร่วมกันจะทำให้เกิดการแบ่งขันการรับพลังงานแสงของ $\text{Ru}(\text{bpy})_3^{2+}$ ที่ถูกปลดปล่อยออกมายาง CdTe-QDs และสารกลุ่มไนโตรฟูรานที่อยู่ในระบบ ส่งผลทำให้แสงที่เกิดขึ้นมีค่าลดลงเมื่อเทียบกับระบบไม่มีสารกลุ่มไนโตรฟูราน ดังนี้จากการผลการศึกษาที่ได้ทำให้สามารถใช้กระบวนการดังกล่าวนำพาทดสอบสารกลุ่มไนโตรฟูรานได้



รูปที่ 16 กลไกการเกิดปฏิกิริยาอิเลคโทรเคมิลูมิเนสเซนต์ของ $\text{Ru}(\text{bpy})_3^{2+}/\text{QDs ECL/Nitrofuran}$

2.3 การศึกษาสภาวะที่เหมาะสมของการตรวจวัดสารกลุ่มในโตรฟูรานด้วยเทคนิคอิเลคโทรเคมีลูมิเนสเซนต์

ในการศึกษาหาสภาวะที่เหมาะสมในการการตรวจวัดสารกลุ่มในโตรฟูรานจะทำการศึกษาแบบ univariate ประกอบไปด้วยการศึกษาค่าศักย์ไฟฟ้า และ scan rate ของไซคลิกโวเทมเมตรี ค่าศักย์ไฟฟ้าของหลอดขยายสัญญาณแสง ชนิดและค่า pH ของสารละลายน้ำฟเฟอร์ ความเข้มข้นของสารละลายน้ำ Ru(bpy)₃²⁺ และ CdTe-QDs ที่เหมาะสม ที่จะส่งผลทำให้ค่าสัญญาณของการตรวจวัดการหายแสงเคมีลูมิเนสเซนต์มีค่าสูงที่สุด

ผลของอัตราเร็วในการสแกนด้วยเทคนิคไซคลิกโวเทมเมตรี

ทำการศึกษาอัตราเร็วในการสแกนด้วยเทคนิคไซคลิกโวเทมเมตรี ตั้งแต่ 0.02 Vs⁻¹ to 0.5 Vs⁻¹ โดยใช้สารละลายน้ำ Ru(bpy)₃²⁺ ใน 0.1 M ของสารละลายน้ำ PBS โดยให้ค่าศักย์ไฟฟ้าตั้งแต่ 0.4-1.6 V. แล้วบันทึกค่าสัญญาณของแสงที่ปล่อยออกมารูปของสัญญาณพีคความสูงต่อพีคสัญญาณของระบบ(S/N) จากผลการทดลองที่ได้พบว่าที่ค่า scan rate เท่ากับ 0.05 Vs⁻¹ จะทำให้ได้ค่าสัญญาณสัญญาณการหายแสงต่อสัญญาณพื้นหลัง (S/N) สูงที่สุดดังแสดงในรูป 16 (a)

ผลของค่าศักย์ไฟฟ้าที่ให้แก่หลอดขยายสัญญาณแสง (PMT)

ผลของค่าศักย์ไฟฟ้าที่จ่ายให้แก่หลอดขยายสัญญาณแสง (PMT) โดยทำการศึกษาค่าศักย์ไฟฟ้าที่จ่ายในช่วง 700-1,000 V ในการตรวจวัดสัญญาณที่ได้จากหลอด PMT โดยทำการตรวจด้วยเครื่องตรวจวัด PMT ที่ได้รับการผลิตโดยบริษัท Hamamatsu ประเทศญี่ปุ่น ที่มีค่าความไว 0.5 pA/V^{1/2} ผลการทดลองที่ได้พบว่าค่าสัญญาณ(S/N) ที่ดีที่สุดคือที่ค่าศักย์ไฟฟ้าของหลอด PMT เท่ากับ 850 V (b)

ผลของชนิดสารละลายน้ำฟเฟอร์

ในการศึกษาขั้นตอนนี้ได้ทำการเติมสารละลายน้ำฟูโรล่าโนน เข้มข้น 0.5 mM ลงไปในระบบที่มีสารละลายน้ำ Ru(bpy)₃²⁺ ที่ละลายน้ำในบฟฟ์ฟเฟอร์ต่างชนิดกัน ได้แก่ 0.1 M acetate buffer, 0.1 M phosphate buffer, 0.1 M borate buffer, 0.1 M ammonium buffer และ 0.1 M carbonate buffer ผลการทดลองที่ได้พบว่าค่าสัญญาณการหายแสงเคมีลูมิเนสเซนต์ที่ได้สูงที่สุด เมื่อใช้สารละลายน้ำฟอสฟ์ฟเฟอร์ (c) เป็นตัวกลางในการศึกษา

ในขั้นต่อมาได้ทำการศึกษาค่าของ pH ของสารละลายน้ำ PBS ที่เหมาะสม โดยได้ทำการศึกษาค่าของ pH ตั้งแต่ 5.7- 8.0 ผลการทดลองที่ได้(d) พบว่าเมื่อค่าของ pH เพิ่มขึ้นค่าของสัญญาณตรวจวัดก็จะเพิ่มขึ้นตาม และค่าสัญญาณจะเริ่มงอกที่เมื่อค่า pH เท่ากับ 7.5 ดังนั้นค่าของ pH ของสารละลายน้ำ PBS ที่เหมาะสมคือเท่ากับ 7.5

ผลของความเข้มข้นสารละลายน้ำ Ru(bpy)₃²⁺ และ L-cysteine-capped CdTe-QDs

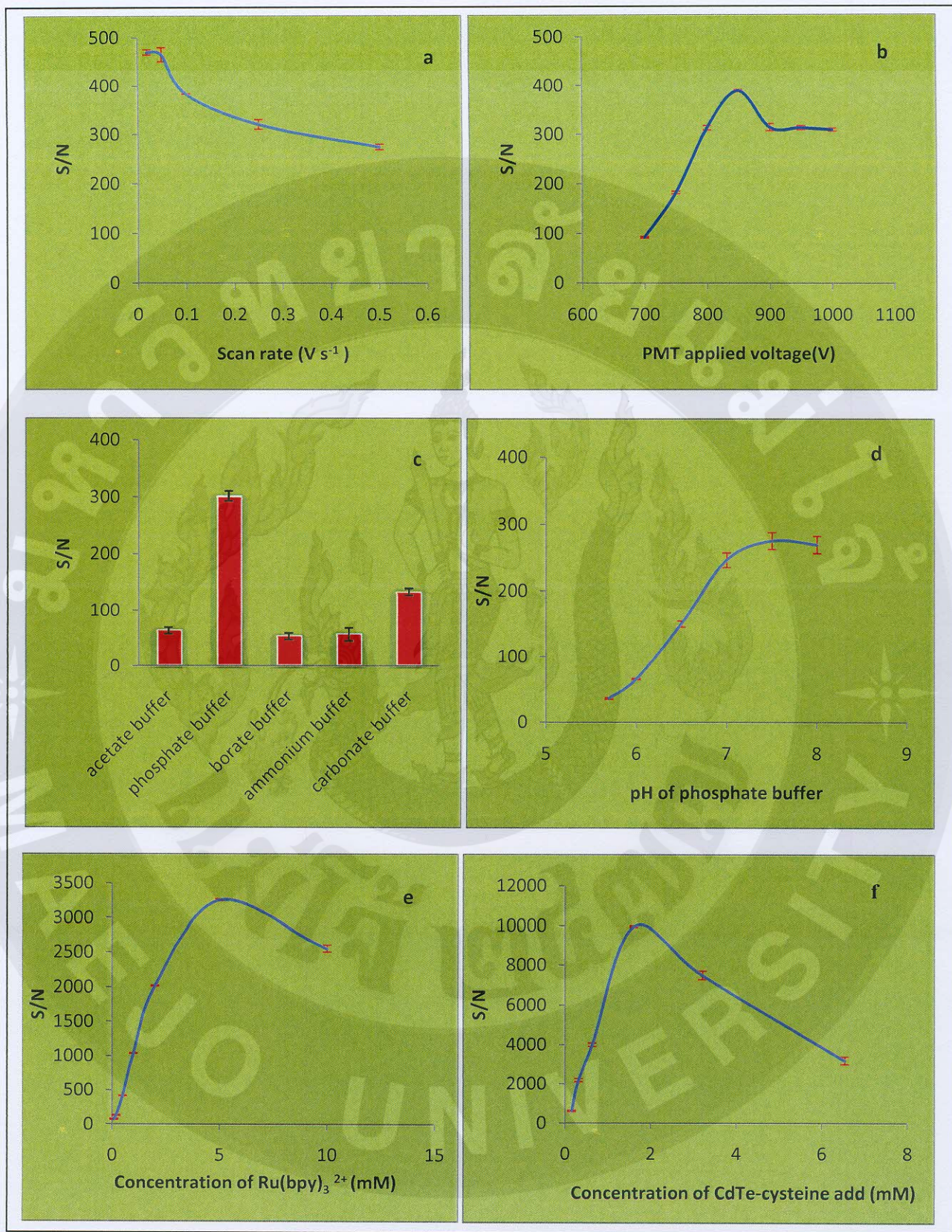
ความเข้มข้นของสารละลาย Ru(bpy)₃²⁺ ที่ได้ทำการศึกษามีความเข้มข้นตั้งแต่ 0.1-10.0 mM ผลการทดลองที่ได้พบว่า ที่ความเข้มข้น 5.0 mM จะทำให้ค่าสัญญาณที่ได้มีค่าเดียวกันที่สุด เมื่อความเข้มข้นของ Ru(bpy)₃²⁺ เพิ่มมากขึ้นค่าสัญญาณจะมีค่าลดลง ดังแสดงในรูปที่ 21(e) สำหรับความเข้มข้นของ CdTe-QDs ที่ได้ทำการศึกษานั้น มีความเข้มข้นตั้งแต่ 0.16-6.53 mM โดยเติมลงในระบบที่มีสารละลายสาร Ru(bpy)₃²⁺ จากผลการทดลองที่ได้พบว่าที่ความเข้มข้นเท่ากับ 1.61 mM ค่าสัญญาณที่ได้จะมีค่ามากที่สุด (f) ดังนั้นจึงทำการเลือกใช้ความเข้มข้นดังกล่าวมาใช้ในการทดสอบสารกลุ่มนี้ในโทรศัพท์มือถือ

2.4 การศึกษาสภาวะที่เหมาะสมของวิธีการทดสอบแบบ Simplex

ในการศึกษาสภาวะที่เหมาะสมของวิธีการทดสอบแบบ Simplex นี้ ได้ใช้การออกแบบการทดลองด้วยโปรแกรม Multisimplex software (2.1 trial version) โดยสภาวะที่ได้ทำการศึกษาและผลการทดลองที่ได้แสดงดังตารางที่ 4 จากผลการทดลองพบว่าต้องทำการทดลองทั้งหมด 13 สภาวะการทดลองตามที่โปรแกรมได้ออกแบบมาให้ ถึงจะทำให้ได้สภาวะที่เหมาะสมที่สุด พบว่า สภาวะที่ทำให้ระบบการตรวจวัดมีค่าสัญญาณเดียวกันที่สุด คือ สารละลาย PBS เข้มข้น 110 mM Ru(bpy)₃²⁺ เข้มข้น 5.25 mM และ ความเข้มข้นของ CdTe-QDs เท่ากับ 1.77 mM ตามลำดับ โดยผลการเปรียบเทียบการศึกษาสภาวะที่เหมาะสมของวิธีการทดสอบแบบ univariate และ simplex

ตารางที่ 3 การเปรียบเทียบผลการศึกษาสภาวะที่เหมาะสมของระบบตรวจวัดแบบ univariate และ simplex

Parameter	Univariate optimization		Simplex optimization		
	Range studied	Optimal value	Range studied	Initial step size *	Optimal value
PMT applied voltage (V)	700-1000	850	-	-	-
Type of buffer	phosphate buffer, acetate buffer, borate buffer, ammonium buffer and carbonate buffer	-	phosphate buffer	-	-
pH of phosphate buffer	5.7-8.0	7.5	-	-	-
Phosphate buffer concentration (mM)	10-250	100	90-135	20	110
Ru(bpy) ₃ ²⁺ concentration (mM)	0.1- 10.0	5.0	4.75-5.25	0.5	5.25
L-cysteine CdTe-QDs concentration (mM)	0.16-6.53	1.61	1.45-2.15	0.10	1.77



รูปที่ 17 ผลการศึกษาสภาวะที่เหมาะสมของระบบตรวจสารกลุ่มในไตรฟูรานแบบ univariate

(a) scanrate, (b) PMT applied voltage, (c) buffer solutions, (d) pH of phosphate buffer solutions, (e) the concentration of $\text{Ru}(\text{bpy})_3^{2+}$, and (f) the concentration of cysteine-capped CdTe QDs.

2.5 การประยุกต์ใช้วิธีอิเลคโทรเคมีสูมินิสเซนต์ในการวิเคราะห์สารต้านจุลชีพกลุ่มในโตรฟูรานในตัวอย่างอาหารสัตว์

การศึกษาคุณลักษณะของวิธีการตรวจวัด

ในการศึกษาคุณลักษณะของวิธีการตรวจวัด จะประกอบไปด้วยการศึกษาความแม่นยำ ความเที่ยงตรง จุดต่ำสุดของการตรวจวัด และช่วงความเป็นเส้นตรงของการตรวจวัด รวมถึงผลของการรับกวนสัญญาณตรวจวัดจากองค์ประกอบชนิดอื่น ๆ ที่พบในตัวอย่างอาหารสัตว์

จากการศึกษาช่วงความเป็นเส้นตรงของการตรวจวัด โดยใช้สารมาตรฐานกลุ่มในโตรฟูราน ได้แก่สารมาตรฐานฟูราลทาโนน (FTD) ฟูราโซลิโนน (FZD) และไนโตรฟูแรนโทอิน(NFT) แล้วทำการตรวจวัดด้วยระบบที่ได้พัฒนาขึ้น นำค่าสัญญาณที่ตรวจวัด ได้ของแต่ละความเข้มข้นของสารมาตรฐานกลุ่มในโตรฟูราน (ΔI)

เมื่อ

$$\Delta I = I_0 - I_s$$

I_0 is the background ECL intensity of the $\text{Ru}(\text{bpy})_3^{2+}/\text{CdTe-QDs}$ system in the absence of NFs

I_s is the intensity in the presence of a standard or unknown sample with NFs, and C is the concentration of each nitrofuran (μM).

ผลการทดลองที่ได้พบว่าช่วงความเป็นเส้นตรงที่ได้มีค่าอยู่ในช่วงความเข้มข้น 10-100 μM และมีค่าสัมประสิทธิ์สหสัมพันธ์ (r^2) มากกว่า 0.995 สำหรับจุดต่ำสุดของการตรวจวัดคำนวณได้จากค่า $3 \sigma/\text{s}$ เมื่อค่า s คือค่าความชันของกราฟมาตรฐานที่ได้ ส่วน σ คือค่าที่ได้จากส่วนเบี่ยงเบนมาตรฐาน (sd) ของจุดตัดแกน y (Ogren และคณะ. 2009). ในส่วนของความแม่นยำของวิธีการตรวจวัด ได้จากการวัดสารมาตรฐานแต่ละชนิดของสารกลุ่มในโตรฟูราน ที่ระดับความเข้มข้น 60 μM ทั้งหมด 15 ชิ้น ผลที่ได้การศึกษาคุณลักษณะของวิธีการตรวจวัด แสดงดังตาราง 4

ตารางที่ 4 ผลการศึกษาคุณลักษณะของการวิเคราะห์

Compounds	Regression equations ^a	Linear range (μM)	Correlation coefficient (r^2)	Detection limits (μM) ^b	Precision (%RSD) ^c
FTD	$\Delta I = (1.016 \pm 0.03)C + (116.1 \pm 2.61)$	10-100	0.998	0.40	0.61
FZD	$\Delta I = (1.340 \pm 0.02)C + (131.9 \pm 1.78)$	10-100	0.995	0.73	4.22
NFT	$\Delta I = (1.871 \pm 0.01)C + (49.7 \pm 0.79)$	10-100	0.995	0.60	3.10

a. $\Delta I = I_0 - I_s$, where I_0 is the background ECL intensity of the $\text{Ru}(\text{bpy})_3^{2+}/\text{CdTe-QDs}$ system in the absence of NFs; and I_s is the intensity in the presence of a standard or unknown sample with NFs, and C is the concentration of each nitrofuran (μM).

b. Detection limits calculated based on least squares calibration ($3\sigma/\text{s}$) c. Precision at each 60 μM of standards NFs (n=15).

สำหรับการศึกษาผลของการรับกินสัญญาณตรวจจากองค์ประกอบชนิดอื่น ๆ ที่อาจพบในตัวอย่างอาหารสัตว์ ซึ่งได้แก่ ไอออนบวก ไอออนลบ และยาปฏิชีวนะกลุ่มอื่น ๆ ที่มีการเติมลงไปในอาหารสัตว์ จากการทดลองใช้สารมาตรฐานกลุ่มในไตรฟูราน ที่ความเข้มข้น $60 \mu\text{M}$ หลังจากนั้นทำการเติมความเข้มข้นของไอออนบวก ไอออนลบ และยาปฏิชีวนะลงไป พิจารณาสัญญาณตรวจด้วย เมื่อสัญญาณที่ได้ของสารมาตรฐานกลุ่มในไตรฟูราน เพิ่มขึ้น หรือลดลง 5 % แสดงว่าที่ความเข้มข้นของไอออนบวก ไอออนลบ และยาปฏิชีวนะดังกล่าวไปรบกวนสัญญาณการตรวจสารกลุ่มในไตรฟูราน

ผลการทดลองที่ได้พบว่า ไอออน Na^+ , K^+ , Mg^{2+} , NO_3^- , Cl^- , SO_4^{2-} , PO_4^{3-} จะรบกวนระบบการตรวจวัด เมื่อมีความเข้มข้นเป็น 1000 เท่า ของสารกลุ่มในไตรฟูราน ที่ความเข้มข้น $60 \mu\text{M}$ ไอออน Ca^{2+} รบกวนระบบเมื่อมีความเข้มข้น เป็น 100 เท่า และ ไอออน NH_4^+ รบกวนระบบเมื่อมีความเข้มข้นเป็น 10 เท่า ตามลำดับ ในส่วนของยาปฏิชีวนะนั้นพบว่าที่ความเข้มข้น 1000 เท่าของเพนนิซิลินความเข้มข้น 100 เท่าของ นีโอมัยซิน และ คล็อกซาซิน ความเข้มข้น 10 เท่าของยา เตตราซัคคิน ออกซีเตตราซัคคิน และคลอเตตราซัคคิน ส่วนคลอแรมฟินิคอลที่ความเข้มข้น 1 เท่า จะไปรบกวนสัญญาณการตรวจสารกลุ่มในไตรฟูราน ได้ ซึ่งจากการทดลองดังกล่าวనีทำให้ทราบว่าวิธีการตรวจวัดที่พัฒนาขึ้นมาข้างไม่มีความจำเพาะมากนักเมื่อเทียบกับเทคนิคทางด้านโคมากาไฟฟ์ แต่ยังไร์ก็ตามจะเห็นว่าวิธีการตรวจวัดที่พัฒนาขึ้น มีความง่ายและไวซึ่งสามารถใช้สำหรับเป็นวิธีการตรวจสอบเบื้องต้นได้ ดังนั้นในการเก็บปัญหาดังกล่าวจึงจำต้องใช้เทคนิคของการสกัดด้วยของแข็ง (SPE) เข้ามาช่วยเพื่อที่จะทำการกำจัดสารรบกวนระบบการตรวจวัดก่อนการตรวจวัดได้

การตรวจสารกลุ่มในไตรฟูรานในตัวอย่างอาหารสัตว์

นำวิธีการตรวจวัดที่พัฒนาขึ้นมาทำการตรวจสารกลุ่มในไตรฟูรานที่ตกลงในตัวอย่างอาหารสัตว์ปีก และอาหารสุกร โดยทำการสุ่มจากร้านขายอาหารสัตว์ทั่วไปในจังหวัดเชียงใหม่ หลังจากนั้นทำการสกัดตัวอย่างด้วยเทคนิคการสกัดด้วยของแข็ง (SPE) ตามวิธีการของ Barbosa และคณะ (2007). และ Thongsrisomboon และคณะ 2010 เมื่อนำสารละลายตัวอย่างที่ผ่านการสกัดไปประเทยให้แห้ง ละลายสายสกัดที่ได้ด้วย 5 มิลลิลิตรด้วยสารละลายฟลูอิสเฟตบัพเฟอร์เข้มข้น 0.11 ไมลาร์ แล้วจึงนำไปตรวจวัด ผลการวิเคราะห์จากวิธีที่พัฒนาขึ้นจะนำไปเปรียบเทียบกับผลการวิเคราะห์ที่ได้ด้วยเทคนิคโคมากาไฟฟ์ของเหลวสมรรถนะสูง (HPLC) ตามวิธีการของ Barbosa และคณะ (2007) ผลการทดสอบที่ได้แสดงดังตาราง 6 พบว่าในตัวอย่างอาหารสัตว์ที่ทำการสุ่ม

ตรวจ พบสารฟูราลทาโคน และเมื่อทำการเปรียบเทียบผลที่ได้กับเทคนิคโครม่าโทกราฟีของเหลว สมรรถนะสูง พบร่วมไม่มีความแตกต่างทางสถิติที่ระดับความเชื่อมั่น 95 %

ในส่วนของการศึกษาความแม่นยำของวิธีการตรวจวัดทำโดยการเติมสารมาตรฐานกลุ่มใน โตรฟูรานในช่วงความเข้มข้น 25-85 μM ลงในตัวอย่างอาหารสัตว์ที่เตรียมขึ้นมา แล้วทำการ ตรวจวัดด้วยวิธีการตรวจวัดที่พัฒนาขึ้นมา ร่วมด้วยเทคนิคการสกัดแบบ SPE จากการทดลอง พบร่วมค่าร้อยละการกลับคืน (% recoveries) มีค่าตั้งแต่ 93.33-96.86 % ดังแสดงในตารางที่ 6 จาก การตรวจวัดที่ได้สรุปได้ว่าวิธีการตรวจวัดที่ได้ทำการพัฒนาขึ้นมาสามารถใช้ในการตรวจสอบสารกลุ่ม ในโตรฟูรานที่ตกค้างในอาหารสัตว์ที่ระดับความเข้มข้นตามมาตรฐานกำหนดได้ อย่างมีความ แม่นยำ และเที่ยงตรง

ตารางที่ 5 ผลการเปรียบเทียบการตรวจวัดสารฟูราลทาโคนในอาหารสัตว์ ด้วยเทคนิคอิเลคโทร เคมิลูมิเนสเซนต์ และโครม่าโทกราฟีของเหลวสมรรถนะสูง

Feed sample	Amount found (mg kg^{-1}) \pm SD		
	ECL method ^a	HPLC method ^b	t-value
Feed A	1.49 \pm 0.04	1.45 \pm 0.02	1.74
Feed B	1.54 \pm 0.05	1.50 \pm 0.10	0.59
Synthetics Feed1	1.85 \pm 0.02	1.81 \pm 0.02	2.50
Synthetics Feed2	1.90 \pm 0.05	1.88 \pm 0.03	0.43
Synthetics Feed3	1.97 \pm 0.06	1.95 \pm 0.04	0.48

Standard deviation from three determinations each, for the proposed method and the reference method.

a. LOD of ECL method = 0.06 mg kg^{-1} (0.40 μM).

b. LOD of HPLC method = 0.047 mg kg^{-1} .

ตารางที่ 6 ผลการศึกษาร้อยละการกลับคืน (% recoveries) ของสารกลุ่ม ในโตรฟูราน

Feed sample	Add (μM)	% Recoveries		
		FTD	FZD	NFT
Synthetics Feed	25	93.33 \pm 2.31	90.91 \pm 3.03	90.93 \pm 1.23
	55	95.76 \pm 2.78	96.43 \pm 1.38	97.51 \pm 1.12
	85	96.86 \pm 2.96	96.15 \pm 0.89	99.03 \pm 2.17

สรุปผลการวิจัย

จากการศึกษาพบว่าเทคโนโลยีเล็กโตรเคมิลูมิเนสเซนต์สามารถนำไปใช้ในการตรวจวิเคราะห์สารต้านจุลชีพกลุ่มในโตรฟีวราณได้ดี นอกจากนี้ยังพบว่าส่วนอนึ่งของ L-cysteine-capped CdTe-QDs สามารถส่งเสริมประสิทธิภาพของความเข้มแสงเคมิลูมิเนสเซนต์ของ $\text{Ru}(\text{bpy})_3^{2+}$ ได้ สำหรับระบบการตรวจวัด $\text{Ru}(\text{bpy})_3^{2+}$ / L-cysteine-capped CdTe-QDs/NFs โดยสารกลุ่มในโตรฟีวราณจะพบว่าเกิดปฏิกิริยาเคมิลูมิเนสเซนต์แบบขั้นยั่งทำให้สัญญาณที่ได้มีค่าลดลงจากคุณสมบัติดังกล่าวสามารถนำมาใช้ในการตรวจวัดสารตกค้างกลุ่มในโตรฟีวราณที่ตกค้างในอาหารสัตว์ได้ ซึ่งเป็นวิธีการที่สามารถใช้เพื่อการตรวจวิเคราะห์เบื้องต้นได้ไวขึ้น และวิธีการดังกล่าวสามารถนำไปใช้ได้กับห้องปฏิบัติการที่ต้องการควบคุมคุณภาพของการส่งออกอาหารในเรื่องของปริมาณสารตกค้าง ได้ เป็นต้น

นอกจากนี้จากการทดลองศึกษาผลการทดลองเพื่อหาความเป็นไปได้ในการใช้อุปกรณ์มีไฟผลิติกส์แบบกระดาษในการวิเคราะห์สารปนเปื้อนแบบใช้แล้วทิ้ง ในเบื้องต้นนี้พบว่าการสร้างอุปกรณ์ดังกล่าวสามารถทำได้โดยใช้เครื่องพิมพ์แบบอิงค์เจต และให้ผลดี และอยู่ระหว่างการศึกษาเพื่อนำไปใช้ร่วมสารรูทีนีนอยู่ในไฟริดิล และอนุภาคความตันดองชนิดต่างๆ เพื่อใช้เป็นตัวเสริมปฏิกิริยาเคมิลูมิเนสเซนต์ชนิดหนึ่งยาน้ำด้วยไฟฟ้า โดยคาดว่าจะต้องใช้ระยะเวลาในการศึกษาขั้ยเพิ่มเติมอีกสักระยะหนึ่ง

เอกสารอ้างอิง

- พิเศษ นามจันทร์. เอกสารคำสอนวิชา เคมีคลินิก. Available from: http://www.rsu.ac.th/medtech/files/photometry54%20_1_.pdf, Accessed date: 4/9/55
- มาลินี ลิ่ม โภค. 2540. การใช้ยาต้านจุกชีพในสัตว์บกและสัตว์น้ำ. กรุงเทพฯ: ชวนพิมพ์. 66 น.
- ศูนย์ความเป็นเลิศด้านฟิลิกส์. ไมโครฟลูอิดิกส์(microfluidics). Available from:http://www.thep-center.org/src/qa_read.php?question_id=1, Accessed date: 3/9/2555
- Apilux, A., W. Siangproh, N. Praphairaksit and O. Chailapakul, Simple and rapid colorimetric detection of Hg(II) by a paper-based device using silver nanoplates. *Talanta*, 2012. **97**: p. 388-394.
- Barbosa, J., S. Moura. R. Barbosa and F. Ramando. Determination of nitrofurans in animal feeds by liquid chromatography-UV photodiode array detection and liquid chromatography-ionspray tandem mass spectrometry, *Analytica Chimica Acta* 2007, **586**: p. 359-367.
- Chen, H., L. Lin, H. Li, J.-M. Lin, Quantum dots-enhanced chemiluminescence: Mechanism and application, *Coordination Chemistry Reviews*, 2013, *in press*.
- Delaney, J. L., C. Horgan, J. Tianand and W. Shen, Electrogenerated Chemiluminescence Detection in Paper-Based Microfluidic Sensors. *Analytical Chemistry*, 2011. **83**: p. 1300-1306.
- Draisci, R., L. Giannetti. L. Lucentini. L. Palleschi. G. Brambilla. L. Serpe and P. Gallo. Determination of nitrofuran residues in avian eggs by liquid chromatography-UV photodiode array detection and confirmation by liquid chromatography-ionspray mass spectrometry, *Journal of Chromatography A*, 1997, **777**: p. 201-216.
- Fiorini, G. S. and D. T. Chiu, Disposable microfluidics devives: fabrication, function, and application, *BioTechniques* 2005, **38**: p. 429-446.
- Garcia-Campana A. M., and W. R. G. Baeyens, *Chemiluminescence in Analytical Chemistry*, Marcel Dekker, Inc., New York, 2001.
- Ge, L., J. Yan, X. Song, M. Yan, S. Ge and J. Yu, Three dimension paper-based electrochemiluminescence immunodevice for multiplexed measurement of biomarkers and point-of-care testing, *Biomaterials*, 2012, **33**: p. 1024-1031.

- Jayawardanea, B. M., I. D. McKelvie, S. D. Kolev, A paper-based device for measurement of reactive phosphate in water. *Talanta*, 2012. **100**: p. 454–460
- Jonsson, H., Microfluidics for lab-on-a-chip applications, M.S. Thesis in Engineering Physics. 2012, Lunds University. Lund.
- Laitip, N., Fabrication and Utilization of Microfluidic Device for Determination of Nitrite and Nitrate in Water and Soil Samples, M.S. Thesis in Chemistry, Faculty of Science. 2011, Mahidol University. p. 120.
- Li, Y.-S., Y.-D. Du, T.-M. Chen and X.-F. Gao. 2010. A novel immobilization multienzyme glucose fluorescence capillary biosensor. *Biosensors and Bioelectronics*, 25(6): 1382-1388.
- Liu, X., H. Jiang, J. Lei and H. Ju, Anodic electrochemiluminescence of CdTe quantum dots and its energy transfer for detection of cathecol derivatives. *Analytical Chemistry*, 2007. **79**: p. 8055-8060.
- Martinez, A. W., S. T. Phillips, M. J. Butte, G.M. Whitesides, Paper as a Platform for Inexpensive, Low-Volume, Portable Bioassays, *Angewandte Chemie*, 2007, **46**(8): p. 1318–1320.
- Ong, S. E. , S.Z. H. Du , Y. Fu, Fundamental principles and applications of microfluidic systems. Available from: <http://www3.ntu.edu.sg/mae/Research/Programmes/Thinfilms/pdffiles/microfluidicsystems.pdf>, Accessed date: 9/09/2012
- Ogren, P. J., A. Meetze, W.C. Duer, The Limit of Detection in Generalized Least-Squares Calibrations: An Example Using Alprazolam Liquid Chromatography-Tandem Mass Spectrometry Data , *Journal of Analytical Toxicology*, 33 (2009) 129.
- Paris,J.P. and W. W. Brandt. Charge transfer luminescence of a rhuthenium(II) chelate. *Journal of American Chemical Society*, 1959 (18):5001–5002.
- Rattanarat, P., W. Dungchai, W. Siangproh, O. Chailapakul and C. S. Henry, Sodium dodecyl sulfate-modified electrochemical paper-based analytical device for determination of dopamine levels in biological samples. *Analytica Chimica Acta*, 2012. **744**: p. 1-7.
- Richter, M. M., Electrochemiluminescence (ECL), *Chemical Reviews*, 2004, **104**: p. 3003-3036.
- Sattrupinat, T., Fabrication and Utilization of microfluidic device for arsenic monitoring in water sample, M.S. Thesis in Chemistry, Faculty of Science. 2011, Mahidol University.

- Schilling, E., Basic Microfluidic Concepts. Available from: <http://faculty.washington.edu/yagerp/microfluidictutorial/basicconcepts/basicconcepts.htm>, Accessed date: 9/09/2012
- Tokel, N. E. and A. J. Bard, Electrogenerated chemiluminescence. IX. Electrochemistry and emission from systems containing tris(2,2'-bipyridine)ruthenium(II) dichloride, *Journal of American Chemical Society*, 1972, **94**: p. 2862–2863.
- Thongsrisonboon, P., B. Liawruangrath, S. Liawruangrath, S. Satienperakul, Determination of nitrofurans residues in animal feeds by flow injection chemiluminescence procedure, *Food Chemistry*, 123 (2010) 834.
- Verdon, E., P. Coueder and P. Sanders, Multi-residue monitoring for the simultaneous determination of five nitrofurans (furazolidone, nitrofurazone, nitrofurantoin, nifursol) in poultry muscle tissue through the detection of their five major metabolites (AOZ, AMOZ, SEM, AHD, DNSAH) by liquid chromatography coupled to electrospray tandem mass spectrometry-In-house validation in line with Commission Decision657/2002/EC. *Analalytica Chimica Acta* 2007, **586**: p. 336-345.
- Wang, X., X. Yin, and H. Cheng, Microflow injection chemiluminescence system with spiral microchannel for the determination of cisplatin in human serum, *Analytica Chimica Acta*, 2010. **678**(2): p. 135-139.
- Wang, J., H. Han, X. Jiang, L. Huang, L. Chen, and N. Li, Quantum dot-based near-infrared electrochemiluminescent immunosensor with gold nanoparticle-graphene nanosheet hybrids and silica nanospheres double-assisted signal amplification, *Analytical Chemistry*, 2012, 84: p. 4893–4899.